

**İSTANBUL TEKNİK ÜNİVERSİTESİ ★ FEN BİLİMLERİ ENSTİTÜSÜ**

142745

**TİYOFENOL VE TÜREVLERİNİN STİRENİN ATOM  
TRANSFER RADİKAL POLİMERİZASYONU  
ÜZERİNE ETKİSİ**

142745

**YÜKSEK LİSANS TEZİ**

**Hümeyra MERT**

**Tezin Enstitüye Verildiği Tarih : 5 Mayıs 2003**

**Tezin Savunulduğu Tarih : 29 Mayıs 2003**

**Tez Danışmanı : Prof. Dr. Gürkan HIZAL**

**Diğer Juri Üyeleri Prof.Dr. Ümit TUNCA**

**Doç.Dr. Okan SİRKECİOĞLU**

*Gürkan Hizal  
Ümit Tunca  
Okan Sirkecioğlu*

**MAYIS 2003**

**YÖKSEKOGRETİM KURUMU  
DOĞUMANTASYON MERKEZİ**

## ÖNSÖZ

Bu yüksek lisans tez çalışması, İstanbul Teknik Üniversitesi Fen-Edebiyat Fakültesi Kimya Anabilim Dalı bünyesinde gerçekleştirılmıştır.

Öncelikle tez çalışmam süresince deneyim ve birikimlerinden faydalana fırsatı bulduğum tez danışmanlarım sayın Prof.Dr.Gürkan HIZAL ve sayın Prof.Dr.Ümit TUNCA'ya verdikleri sınırsız destek için teşekkürlerimi sunarım.

Arkadaşlarım Recep UÇAN, Tuba ERDOĞAN ve Alper ÜSTÜN'e ve tüm polimer laboratuvarı çalışma arkadaşlarına dostluk ve yardımlarından dolayı teşekkür ederim.

Son olarak bana her zaman destek olan aileme tez çalışmam süresince göstermiş oldukları anlayış ve özveri için teşekkürü bir borç bilirim.

Mayıs 2003

Hümeyra MERT

## **İÇİNDEKİLER**

<b>TABLO LİSTESİ</b>	v
<b>ŞEKİL LİSTESİ</b>	vi
<b>SEMBOL LİSTESİ</b>	vii
<b>ÖZET</b>	viii
<b>SUMMARY</b>	ix
<b>1. GİRİŞ</b>	1
<b>2. TEORİK KISIM</b>	3
<b>2.1. Atom Transfer Radikal Polimerizasyon</b>	3
2.1.1. Atom Transfer Radikal Eklenme Reaksiyonu	3
2.1.2. Atom Transfer Radikal Polimerizasyonun Mekanizması	4
2.1.3. ATRP'nin Kinetiği	5
2.1.4. ATRP'nin Genel Özellikleri	6
2.1.5. ATRP'nin Bileşenleri	6
2.1.5.1. Başlatıcı (R-X)	6
2.1.5.2. Geçiş Metali	8
2.1.5.3. Ligand	9
2.1.5.4. Deaktivatör	10
2.1.5.5. Monomer	11
2.1.5.6. Çözücü ve Diğer Reaktanlar	12
2.1.5.7. Sıcaklık ve Reaksiyon Süresi	12
<b>2.2. Geleneksel Zincir Transfer Metotları</b>	13
2.2.1. Zincir Transfer Reaksiyonlarında Merkaptanlar	13
<b>2.3. Fenollerin Oksidatif Birleşme Polimerizasyonu</b>	16
2.3.1. Kataliz Sistemi	18
2.3.2. Oksidatif Birleşme Polimerizasyonunun Mekanizması	18
<b>2.4. O<sub>2</sub> Varlığında Gerçekleştirilen ATRP</b>	20

<b>3. DENEYSEL ÇALIŞMALAR</b>	<b>23</b>
<b>3.1. Kullanılan Kimyasallar</b>	<b>23</b>
3.1.1. Sodyum Tiyofenolat Sentezi	23
<b>3.2. Polistiren Örneklerinin Sentezi için Genel Prosedür</b>	<b>23</b>
<b>3.3. Gaz Kromotografi Cihazında Dönüşümün İncelenmesi</b>	<b>24</b>
<b>3.4. Zincir Uzatma Polimerizasyonu</b>	<b>24</b>
<b>3.5. Elde Edilen Polimerlerin Karakterizasyonu</b>	<b>24</b>
3.5.1. Jel Geçirgenlik Kromotografi Cihazı	24
3.5.2. Gaz Kromotografi Cihazı	24
<b>4. SONUÇLAR VE TARTIŞMALAR</b>	<b>26</b>
<b>4.1. Genel Prosedürle Hazırlanan Polistrenler</b>	<b>27</b>
4.1.1. Farklı Tiyofenollerin Stirenin ATRP Üzerine Etkisi	27
4.1.2. Stirenin ATRP Üzerine Sodyum Tiyofenolat Miktarının Etkisi	28
4.1.3. Stirenin ATRP Üzerine PMDETA Miktarının Etkisi	29
4.1.4. Stirenin ATRP Üzerine <i>p</i> -metoksi tiyofenol ve Boşluk Hacminin Etkisi	29
<b>4.2. Kinetik Çalışmalar</b>	<b>34</b>
4.2.1. Sodyum Tiyofenolatın Reaktan Olarak Kullanıldığı Kinetik Çalışma	34
4.2.2. <i>p</i> -metoksi tiyofenolün Reaktan Olarak Kullanıldığı Kinetik Çalışma	36
<b>4.3. Zincir Uzatma Polimerizasyonu</b>	<b>38</b>
<b>5. SONUÇLAR VE ÖNERİLER</b>	<b>39</b>
<b>KAYNAKLAR</b>	<b>40</b>
<b>ÖZGEÇMİŞ</b>	<b>43</b>

## TABLO LİSTESİ

	<u>Sayfa No</u>
<b>Tablo 2.1.</b> <i>n</i> -butil merkaptanın monomerlerle olan zincir transfer sabitleri.....	14
<b>Tablo 2.2</b> Farklı fenollerin oksidatif birleşme polimerizasyonunun ürün verimleri.....	17
<b>Tablo 4.1.</b> Farklı tiyofenol türevlerinin stiren polimerizasyonu üzerine etkisi.....	30
<b>Tablo 4.2.</b> Sodyum tiyofenol miktarının stirenin ATRP üzerine etkisi.....	31
<b>Tablo 4.3.</b> PMDETA miktarının stirenin ATRP üzerine etkisi.....	32
<b>Tablo 4.4.</b> <i>p</i> -metoksi tiyofenol ve boşluk hacminin stirenin ATRP üzerine etkisi.....	33
<b>Tablo 4.5.</b> Stirenin sodyum tiyofenolat ile gerçekleştirilen polimerizasyonu.....	34
<b>Tablo 4.6.</b> Stirenin <i>p</i> -metoksi tiyofenol ile gerçekleştirilen polimerizasyonu.....	36

## ŞEKİL LİSTESİ

	<u>Sayfa no</u>
<b>Şekil 2.1.</b> Oksijenli ortamda gerçekleştirilen ATRP mekanizması.....	21
<b>Şekil 2.2.</b> Fenollerin oksidatif birleşme polimerizasyonunun mekanizması ...	21
<b>Şekil 2.3.</b> Fenol ve oksijen varlığında gerçekleştirilen ATRP mekanizması...	22
<b>Şekil 4.1.</b> ATRP'nin genel mekanizması.....	26
<b>Şekil 4.2.</b> Tiyofenol ve oksijen varlığında gerçekleştirilen ATRP'ye önerilen mekanizma.....	27
<b>Şekil 4.3.</b> $[M]_0 : [I]_0 : [CuCl_2] : [PMDETA] : [PhSNa] = 100 : 1 : 0,5 : 5 : 0,75$ 110°C'de gerçekleştirilen stiren polimerizasyonu için kinetik değerler .....	35
<b>Şekil 4.4.</b> $[M]_0 : [I]_0 : [CuCl_2] : [PMDETA] : [PhSNa] = 100 : 1 : 0,5 : 5 : 0,75$ 110°C'de gerçekleştirilen stiren polimerizasyonu için kinetik değerler.....	35
<b>Şekil 4.5.</b> $[M]_0 : [I]_0 : [CuCl_2] : [PMDETA] : [p\text{-metoksitiyofenol}] = 100 : 1 : 0,5 : 5 : 1,5$ 110°C'de gerçekleştirilen stiren polimerizasyonu için kinetik değerler .....	37
<b>Şekil 4.6.</b> $[M]_0 : [I]_0 : [CuCl_2] : [PMDETA] : [p\text{-metoksitiyofenol}] = 100 : 1 : 0,5 : 5 : 1,5$ 110°C'de gerçekleştirilen stiren polimerizasyonu için kinetik değerler.....	37
<b>Şekil 4.7.</b> Makro başlatıcı (a) ve zinciri uzatılmış polimerin (b) GPC pikleri.....	38

## **SEMBOL LİSTESİ**

<b>M</b>	: Monomer
<b>I</b>	: Başlatıcı
<b>L</b>	: Ligand
<b><math>M_n</math></b>	: Polimerlerin sayıca ortalama molekül ağırlığı
<b><math>M_w</math></b>	: Polimerlerin ağırlıkça ortalama molekül ağırlığı
<b><math>M_w/M_n</math></b>	: Molekül ağırlık dağılımı
<b>St</b>	: Stiren
<b>PS</b>	: Polistiren
<b>PMMA</b>	: Poli(metilmetakrilat)
<b><math>k_a, k_d</math></b>	: Radikal polimerizasyonlarda aktivasyon ve deaktivasyon hız sabitleri
<b><math>k_t, k_p, k_i</math></b>	: Radikal polimerizasyonlarda sonlanma (termination), büyümeye (propagation) ve başlama (initiation) hız sabitleri
<b>PMDETA</b>	: N,N,N',N'',N'''-pentametildietilentriamin
<b>PhSNa</b>	: Sodyum tiyofenolat
<b>f</b>	: Başlatıcı etkinliği

## **TİYOFENOL VE TÜREVLERİNİN STİRENİN ATOM TRANSFER RADİKAL POLİMERİZASYONU ÜZERİNE ETKİSİ**

### **ÖZET**

İyi tanımlanmış mimariye sahip polimerlerin kontrollü polimerizasyon yöntemleriyle eldesi polimer kimyasında gittikçe artan bir öneme sahiptir. Kontrollü mimari denilince; molekül ağırlığı, üç grup kontrolü, blok kopolimer oluşturabilme yeteneği ve yaşayın karakter akla gelmektedir. Klasik olarak makromoleküller mimarinin kontrolü yalnızca yaşayın anyonik ve katyonik polimerizasyon teknikleri ile başarılılmaktadır. Son yıllarda iyi tanımlanmış, düşük polidispersiteye sahip polimerlerin sentezinde kontrollü/yaşayın polimerizasyon yöntemleri kullanılmaktadır. Bu yöntemler içinde en etkili olanları kararlı serbest radikal polimerizasyonu (SFRP) ve  $M_t^n$  (Cu, Ru, Fe, Ni ve Rh) /Ligand kataliz sistemli atom transfer radikal polimerizasyonudur. (ATRP) Bir çok araştırmaya konu olan ATRP metal/amin komplekslerinin redoks reaksiyonuna dayanan ve tersinir olarak başlatıcı alkil halojenürlerin aktivasyonu ve deaktivasyonunu içeren bir mekanizma üzerinden yürürl.

Oksijenin radikal polimerizasyonları durdurduğu bilinmektedir. Oksijenin etkisi ATRP'de daha da fazladır. Kataliz olarak kullanılan Cu(I) oksijen ile reaksiyona girerek Cu(II)'ye dönüşür ve katalitik aktivitesinin yitirmesi sonucu polimerizasyonu durdurur. Oksijenin bu istenmeyen etkisi fenol türevleri kullanılarak ortadan kaldırılabilir. Fenol türevlerinin ATRP üzerindeki bu etkisi normal ATRP'den farklı olarak yüksek oksidasyon basamağındaki metal tuzlarının kullanılmasına olanak sağlar ve sonuç ürünündeki metal miktarını azaltır.

Metal komplekslerinin redoks çevirimine dayanan böyle bir sistem sadece ATRP'ye özgü değildir. 2,6-disübstüealkilfenollerin Cu(I) ve Cu(II)-amin katalizli oksidatif birleşme polimerizasyonu da bu sisteme dayanır.

Bu çalışmada stirenin  $CuCl_2/PMDETA$  varlığında ATRP sistemi üzerine tiyofenol ve tiyofenol türevlerinin etkisi incelenmiştir. Stirenin tiyofenol ve oksijenin bulunduğu ortamda polimerleştiği gözlenmiştir. Düşük molekül ağırlığı dağılımına sahip polimerler elde edilmiştir. Bu sonuçlarla tiyofenol türevlerinin ATRP üzerindeki tahmin edilen mekanizma üzerinden etkisi doğrulanmıştır.

## **THE EFFECT OF THE THIOPHENOL DERIVATIVES ON ATRP SYSTEM OF STYREN**

### **SUMMARY**

Accurate control of polymerization process to give polymers with well defined architecture is becoming an increasingly important aspect of polymer chemistry. Specifically, controlled architecture possesses some characteristics, which are molecular weight control, end group control, ability to form block copolymers and a living nature. Classically, the control of macromolecular architecture is only achieved by anionic and cationic polymerization techniques. Recently, the controlled living radical polymerizations have been utilized for the synthesis of well-defined, narrow polydispersity polymers. Among them stable free radical polymerization (SFRP) and  $M_t^n(Cu, Ru, Fe, Ni \text{ and } Rh)/Ligand$  mediated atom transfer radical polymerization (ATRP) are versatile methods for the controlled radical polymerization of various monomers. ATRP, which has been the subject of many researches, involves the reversible activation and deactivation of initiator organic halides by redox reaction transition metal complexes.

It is known that oxygen inhibits the radical polymerizations. This inhibition role is much more effective in atom transfer radical polymerizations. Cu(I) loses its catalytic activity and inhibits the polymerization. This is due to the oxidation of Cu(I) to Cu(II) by oxygen. The pronounced effect of the oxygen can be eliminated by using phenol derivatives. The effect of the phenol derivatives on ATRP; give a possibility to use Cu(II) salts instead of Cu(I) analogs and reduces the amount of metal in polymerization system and final product.

Such a system based on the redox couple of the metal complexes is not specific to the ATRP but is applied to the other polymerization systems such as oxidative coupling polymerization of 2,6-disubstituted alkyl phenols where the wide variety of the Cu(I) and Cu(II)-amine complexes were used as catalyst.

In the present work, the effect of the thiophenol derivatives on the ATRP system of styren in the presence of  $CuCl_2/PMDETA$  was researched. Styren was polymerized in the presence of thiophenol and air oxygen. Low molecular weight distributions were obtained. Possible mechanism of thiophenol derivatives on ATRP system was confirmed with these results.

## **1. GİRİŞ**

Yüksek molekül ağırlıklı polimerlerin elde edilmesinde en önemli proseslerden biri olan serbest radikal polimerizasyon; toplam polimer üretiminde sınırlı bir kullanım alanı bulmuştur. Bunun nedeni; zincir transfer ve sonlanma reaksiyonlarının sebep olduğu makromoleküller mimari kontrollsüzlüğüdür.

Son zamanlarda iyi tanımlanmış, düşük polidispersiteye sahip polimerlerin sentezinde kontrollü/yaşayan polimerizasyon yöntemleri kullanılmaktadır. Bu yöntemlerle serbest radikal polimerizasyon, kontrollü/yaşayan sisteme çevrilerek; yeni polimerik materyallerin geliştirilmesine olanak sağlanmıştır.

Yaşayan polimerizasyonlar zincir büyümeye polimerizasyonlarıdır ve tersinir olmayan zincir transfer ve sonlanma reaksiyonlarının yokluğunda gerçekleşirler. Başlangıç monomer/başlatıcı oranı değiştirilerek; sonuç polimerin ortalama molekül ağırlığı ve dar bir molekül ağırlığına sahip olması ayarlanabilir. Bu sisteme dayanan yöntemlerin içerisinde en büyük ilgiyi çeken ATRP olup bir çok araştırmaya konu olmuştur.

Organik kimya literatüründe alkil halojenürlerin metal/amin kompleksi katalizli olefinlere katılma reaksiyonu (Atom transfer radical addition, Kharasch Reaksiyonu) üzerine temellendirilen ATRP; geçiş metal kompleksinin redoks reaksiyonu ile organik halojenürlerin tersinir aktivasyon ve deaktivasyon aşamalarını içerir.

Fenilik polimerizasyon durdurucuların ATRP koşullarını etkilemediği hatta bazı durumlarda polimerizasyon hızını artırdığının bulunması mekanizmanın radikal olup olmadığı tartışmalarını başlatmış ancak kararlı radikal tutucular varlığında polimerizasyonun gerçekleşmemesi ve bu yöntem ile elde edilen polimetilmetakrilat örneklerinin klasik radikal polimerizasyon ile elde edilen örneklerle aynı taktisite özelliklerine sahip olması radikal mekanizmanın delili olarak kabul edilmesine rağmen fenollerin etkisi açıklanamamıştır. Bunun yanında Matyjaszewski tarafından ATRP'un az miktarda oksijen varlığında, fenilik inhibitörler içeren saf olmayan

monomerler kullanılarak gerçekleştirilebileceği bulunmuştur. Cu(I) ve Cu(II)-amin komplekslerinin redoks çevirimine dayanan 2,6-disübstitüealkilfenollerin oksidatif birleşme polimerizasyonu ile bu sistem arasındaki benzerlik ve sonuçlar; oksijen ve fazla miktarda fenolik bileşikler varlığında bir ATRP sisteminin araştırılmasına neden olmuştur.

Bu çalışmada stirenin 1-kloro-1-feniletan başlatıcısı, CuCl<sub>2</sub>/PMDETA kompleksi katalizi yardımıyla, hava oksijeni ve tiyofenol/tiyofenol türevi varlığında kontrollü radikal polimerizasyonu incelenmiştir.

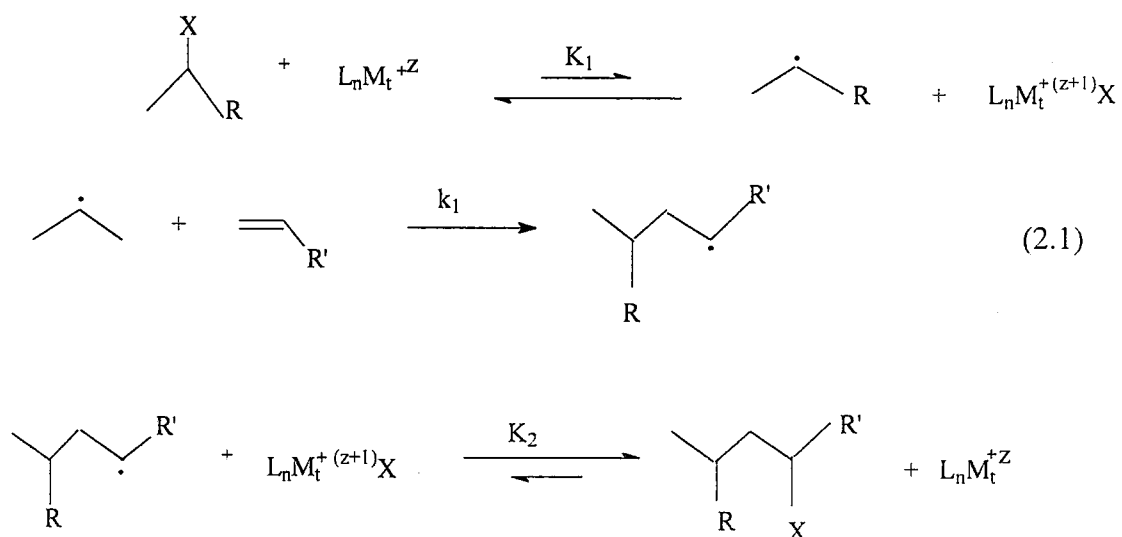
## 2. TEORİK KISIM

### 2.1. Atom Transfer Radikal Polimerizasyon

#### 2.1.1. Atom Transfer Radikal Eklenme Reaksiyonu (ATRA)

Radikal sonlanma reaksiyonlarının sebep olduğu; istenen eklenme ve yer değiştirme ürünlerinin düşük verimi dolayısıyla, radikal reaksiyonlar organik sentezlerde sınırlı bir kullanım alanına sahipti. Aktif radikallerin sabit konsantrasyonunu düşürerek, sonlanma reaksiyonlarının katkısını en aza indirgeyen [1] kararlı radikallerin keşfinden sonra radikal reaksiyonlarının kullanım alanı artmıştır [2]. Bu içeriğe dayanarak geliştirilen metodların en etkili olanlarından biri de; atom transfer radikal eklenme reaksiyonudur (ATRA) [3].

ATRA; organik halojenürden geçiş metal kompleksine atom transferi sonucu oluşan radikalın, bir alkene katılması ve devamında ürünü oluşturmak üzere geçiş metal kompleksinden sonuç radikale atom transferi aşamalarını içerir. (2.1)'de ATRA'nın genel mekanizması gösterilmiştir.



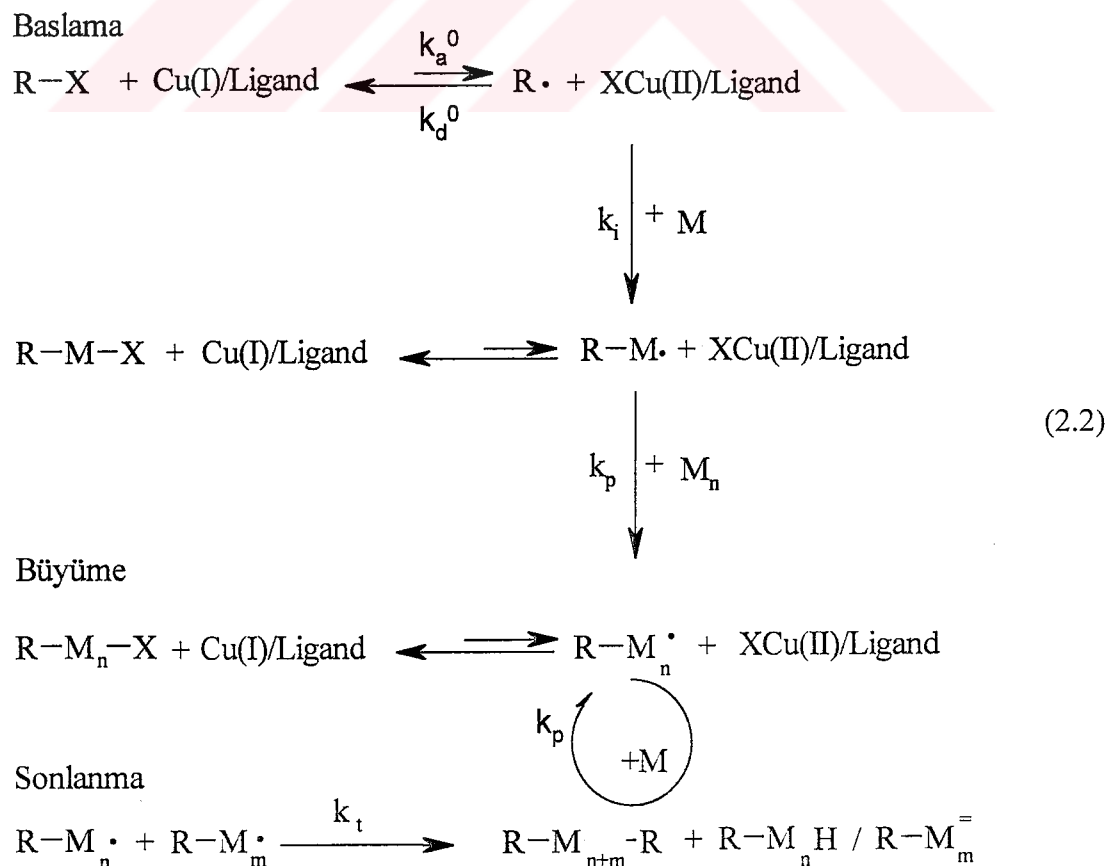
Bu reaksiyon için seçilen substratlar tipiktir. Şöyledir ki; eklenme meydana geldiğinde oluşan yeni radikal başlangıçta oluşan radikale kıyasla daha az stabilize edilir. Dolayısıyla yüksek oksidasyon basamağındaki metalin kompleksiyle reaksiyona girerek inaktif alkilhalojenür ürünü oluşturur. ( $K_2 >> K_1$ ) Bu nedenle ATRA'da sadece bir eklenme basamağı gerçekleşir.

Gerekli koşullar sağlanarak birden fazla eklenme basamağı sağlanırsa; ATRA ATRP'ye genişletilebilir. Radikal türleri; doymamış substrata eklenmeden önce ve eklendikten sonra kıyaslanabilir bir kararlılığa sahip olursa, aktivasyon-eklenme-deaktivasyon çevrimi monomer tükenene kadar devam eder. Bu proses zincir büyümeye polimerizasyonu ATRP'yi verir.

### 2.1.2. Atom Transfer Radikal Polimerizasyonun Mekanizması

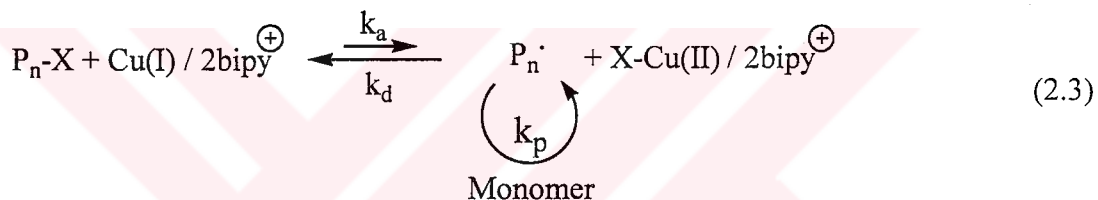
Bir ATRP sistemi; başlatıcı, Cu(I)halojenürün ligandlı kompleksi ve monomerdan oluşur. ATRP, stiren, akrilikler, metakrilikler akrilonitril ve diğer monomerlerin kontrollü/yaşayan polimerizasyonuna başarıyla adapte edilebilmektedir.

ATRP'nin genel mekanizması (2.2)'de verilmiştir.



Substrattan çıkarılan bir halojen atomu Cu(I) kompleksinin yüksek oksidasyon mertebesine çıkmasına neden olur. Bu reaksiyon bir organik radikal ve Cu(II) kompleksinin oluşmasına neden olur. Sonuç radikal bir başka doymamış bileşige eklenebilir ya da Cu(II) kompleksinden halojen atomu kopartarak Cu(I) oluşmasına neden olup uyuyan organik halojenür haline yeniden dönebilir. Radikal ayrıca bir başka radikalle de reaksiyon verebilir. Fakat radikal konsantrasyonu çok düşük olduğundan; sonlanma reaksiyonlarının ürüne katkısı ihmali edilebilir düzeydedir.

ATRP için en etkili ligandlar 2,2'-bipiridinin türevleri [4] ve bazı alifatik poliaminlerdir [5]. Örneğin (2.3)'te polimerizasyon; 2 tane 2,2'-bipiridin molekülüle kompleks oluşturan bakırhalojenür katalizli tersinir redoks reaksiyonu sonucu uyuyan alkilhalojenürden oluşan büyüyen radikallere monomerin tekrar tekrar eklenmesiyle meydana gelir [6,7].



### 2.1.3. ATRP'nin Kinetiği

ATRP için hız denklemi; sonlanma katkısı ihmali edilerek, başlama aşamasında başlatıcının tamamen tüketdiği [8] ve düşük molekül ağırlığı dağılımı için dengeye hızlı ulaşıldığı kabul edilerek [9] aşağıdaki gibi türetilmiştir (2.4).

$$R_p = k_{app} [M] = k_p [P^{\cdot}] [M] = k_p K_{eq} [I]_O \frac{[Cu(I)]}{[Cu(II)X]} [M] \quad (2.4)$$

$$K_{eq} = \frac{k_{act}}{k_{deact}} = \frac{[P^{\cdot}][Cu(II)X]}{[Cu(I)][PX]}$$

Sonuç polimerin özellikleri ve kontrolü; büyüyen radikalın sabit konsantrasyonuna, büyümeye ve deaktivye olma aşamalarının göreceli hızlarına bağlıdır.

#### **2.1.4. ATRP'nin Genel Özellikleri**

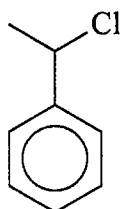
1. Hızlı başlama aşaması polimer zincirlerinin eş zamanlı büyümесini sağlar.
2. Alkilhalojenür ve geçiş metal kompleksi arasındaki denge büyük oranda uyuyan tür yönüne kayar. Bu denge durumu ise büyüyen polimer zincirlerinin uyuyan tür olmasına ve dolayısıyla düşük radikal konsantrasyonuna neden olur. Sonuç olarak polimerizasyonun tümüne radikal sonlanma reaksiyonlarının katkısı en aza indirgenir.
3. Halojen transferiyle aktif radikallerin deaktivasyonu polimer zincirlerinin yaklaşık olarak aynı hızda büyümese bu ise dar molekül ağırlığına neden olur.
4. Uyuyan polimer zincirlerinin göreceli hızlı aktivasyonu makul polimerizasyon hızı sağlar.
5.  $\beta$ -hidrojen koparılması, radikallerin indirgenmesi ya da yükseltgenmesi gibi yan reaksiyonlar olmamalıdır [10].

#### **2.1.5. ATRP'nin Bileşenleri**

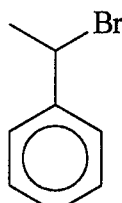
ATRP; alkilhalojenür (başlatıcı), düşük oksidasyon basamağındaki redoks aktif geçiş metali, ligand, deaktivatör, monomer ve eklenen diğer reaktanlardan oluşan çok bileşenli bir sistemdir.

##### **2.1.5.1. Başlatıcı (R-X)**

Alkilhalojenür başlatılmış zincirlerin sayısını belirler. Dolayısıyla alkilhalojenür konsantrasyonunun artmasıyla polimerin molekül ağırlığı azalır. ATRP'nin hızı başlatıcıya göre 1. mertebedendir [4a,8]. Alkilhalojenürdeki R grubunun yapısı büyüyen zincirin yapısına benzer olmalıdır. Örneğin; stiren için; 1-kloro-1-feniletan ya da 1-bromo-1-feniletan; metilmekrيلat için ise; 2-bromoetilizobütirat ya da p-toluensülfoniklorür uygun başlatıcılardır. (2.5)'te ATRP'de kullanılan bazı başlatıcılar gösterilmiştir.

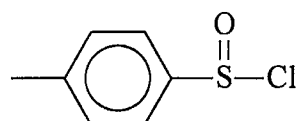


1-kloro-1-feniletan

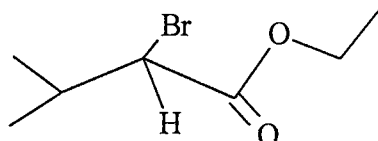


(2.5)

1-bromo-1-feniletan



p-toluensülfonilklorür



2-bromoethylizobütirat

### ATRP'de Başlatıcı Yapısının Önemi

Başarılı bir ATRP başlatıcı sistemi için iki önemli parametre vardır.

1. Başlama büyümeden hızlı olmalıdır.

2. Yan reaksiyonlar minimum düzeyde olmalıdır.

Başlatıcıyı seçerken aşağıdaki noktalar göz önünde bulundurulmalıdır.

1. Alkil halojenürdeki fonksiyonel gruplar alkil halojenürün reaktivitesini artırabilir. Tersiyer alkil halojenürler, sekonder olanlardan bunlar da primer alkil halojenürlerden daha iyi başlatıcılardır. Bu veri aktivasyon hız sabitlerinin ölçümlüle doğrulanmıştır.

2. Alkil halojenürdeki bağ kuvveti sıralaması; R-Cl >R-Br>R-I şeklindedir. Bu veriye göre alkiliyodür en etkili başlatıcı olmalıdır. Bunun yanında alkiliyodür kullanımı özel önlemler alınmasını gerektirmektedir. Işığa duyarlıdır, düşük kararlılıkta metal-iyodür kompleksleri oluşabilir, R-I bağı heterolitik olarak kopabilir [11,12]. Bu nedenlerle Brom ve Klor en sık kullanılan halojenlerdir. Genelde başlatıcıda ve metal tuzunda aynı halojen kullanılır. Bunun yanında farklı halojenler kullanılarak iyi bir polimerizasyon kontrolü elde edilebilir. R-X/ M<sub>t</sub>-Y (X, Y= Br ya da Cl) şeklindeki farklı halojenli başlatıcı sisteminde alkil-Cl bağıının kuvvetli olmasından dolayı polimer zincirlerinin çoğu klor sonludur. Bu nedenle başlama hızı

büyüme hızına göre artar ve 2-bromoisobütirat/CuCl sisteminde 2-bromoisisobütirat/CuBr sistemine göre daha iyi kontrollü polimerizasyon sağlanır [13]. Halojen değişim metodu yüksek denge sabitlerine sahip monomerlerin polimerizasyonunda daha düşük reaktivitede alkilhalojenürlerin kullanımına olanak sağlar. Bu, özellikle blok kopolimerlerin hazırlanmasında önemlidir [14,15].

3. ATRP'de başarılı bir başlama aşaması büyük oranda katalize bağlıdır. Örneğin; Metilmekrilatın 2-bromoisisobürofenon başlatıcılı kontrollü polimerizasyonu Ru ve Ni kompleksleri kullanıldığında gerçekleşirken, Cu kompleksleri kullanıldığında başarılı bir ATRP elde edilemiyor. Bu sonuç; Cu katalizinin düşük redoks potansiyelinden dolayı sonuç elektrofilik radikalın Cu(I) türleri tarafından indirgenmesine atfediliyor.

4. Reaktan eklenmesinin sırası ve metodu da önemli olabilir. Örneğin; metilmekrilatın CuCl(dNbpy)<sub>2</sub>- katalizli ATRP'sine benzihidril başlatıcısının yavaş yavaş ilave edilmesi daha düşük ani konsantrasyonda benzihidril radikallerini yaratır ve böylece radikaller arasındaki sonlanma azalır. dietil-2-bromomalonat/CuBr sistemi stirenin ATRP'sini başlatır. Kataliz, başlatıcı-monomer çözeltisine yavaşça ilave edildiğinde iyi kontrol elde edilir. Böylece malonil radikallerinin Cu(I) türleri tarafından indirgenmesinden kaçınırlar. Çok reaktif alkilhalojenür başlatıcıları kullanıldığında heterojen kataliz sistemleri homojen kataliz sistemlerinden daha etkin bir başlama sağlar. Bunun nedeni; katalizin yavaş çözünmesi ve dolayısıyla düşük ani konsantrasyonudur. Örneğin; CuBr(bpy)<sub>3</sub> katalizinde CCl<sub>4</sub> stiren ve metilmekrilat için iyi bir başlatıcıdır [16]. Fakat homojen CuBr(dNbpy)<sub>2</sub> kataliz sistemi kullanıldığında aynı başarı söz konusu değildir. Bunun yanında kataliz çözeltisi başlatıcı çözeltisine yavaşça ilave edildiğinde başlatıcı etkinliği artar [17].

### 2.1.5.2. Geçiş Metalı

Etkili bir ATRP katalizinin sahip olması gereken birkaç özellik vardır.

1. Metal kompleksinin tek elektronlu redoks çifti olmalıdır.
2. Yeni bir ligandın yerleşmesini sağlamak için metal merkezinin koordinasyon sayısı bir artabilmelidir.

3. Kataliz atom transferinde seçici olmalıdır.  $\beta$ -H eliminasyonu ve organometalik türevlerin oluşumu gibi transfer reaksiyonlarının önlenmesi için alkil radikallerine ve alkil gruplarındaki hidrojen atomlarına düşük ilgili olmalıdır.
4. Metal merkezi kuvvetli levis asiti olmamalıdır. Aksi takdirde; başlatıcıdaki karbon halojen bağı heterolitik bölünebilir. Bu ise yan reaksiyonlara ve katyonik polimerizasyona neden olabilir [4].

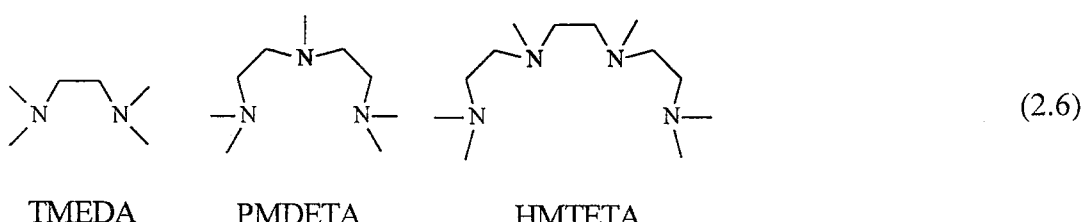
### 2.1.5.3. Ligand

Ligandın ATRP'deki ana rolü organik ortamda geçiş metal tuzlarını çözünür hale getirmek ve metal merkeze atom transferi için redoks potansiyelini ayarlamaktır [18]. Geçiş metali olarak bakırın kullanıldığı ATRP'de azotlu ligandlar iyi çalışır. Bunun aksine kükürt, oksijen ve fosforlu ligandlar uygun olmayan elektronik etkilerden dolayı daha az etkindirler. Bakır katalizli ATRP'de geçiş metal kompleksinin koordinasyon kimyası kataliz aktivitesini büyük ölçüde etkiler. Ligand seçiminde elektronik ve sterik etkiler göz önünde bulundurulmalıdır. Metal merkezi çevresi aşırı derecede sterik engelliye ya da ligand güçlü elektron çekici sübstiyent taşıyorsa kataliz aktivitesi düşer. Azot bazlı ligandlarda aktivite koordinasyon noktaları arttıkça artar.

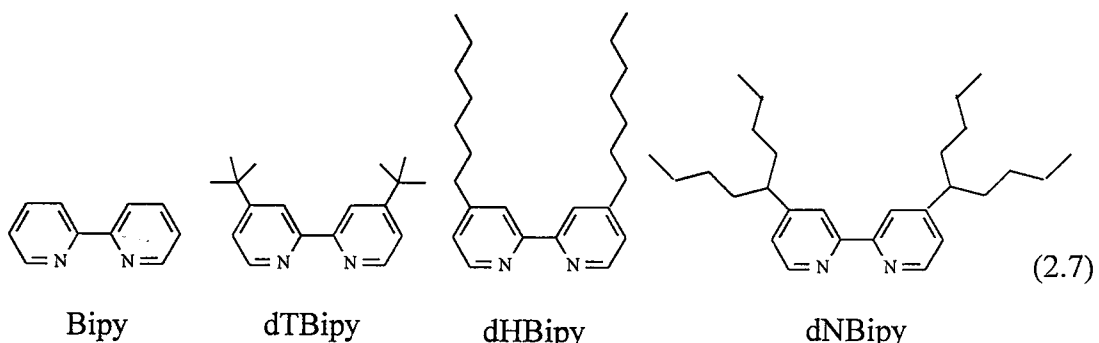


(2.6) ve (2.7)'de ATRP'de sıkılıkla kullanılan azot bazlı ligandlar verilmiştir.

#### Basit Amin Ligandlar



## Piridin Türevi Olan Ligandlar



### 2.1.5.4. Deaktivatör

Deaktivatörün polimerizasyon hızı ve sonuç polimerin polidispersitesi üzerinde çok büyük etkisi vardır. Deaktivasyon aşaması çok yavaş olduğunda ya da gerçekleşmeden ATRP klasik radikal polimerizasyona dönüşür. Polimerizasyon hızı Ligand/CuX<sub>2</sub> kompleksi konsantrasyonunun tersine göre 1. Mertebedendir. Sonuç molekül ağırlıkları eklenen deaktivatör konsantrasyonuna bağlı değildir. ATRP sisteminin molekül ağırlığı dağılımı (2.8)'de verilmiştir.

$$M_w / M_n = 1 + \left( \frac{k_p[RX]_0}{k_d[XCu^{II}]^2} \right)^{\frac{2}{p}} - 1 \quad (2.8)$$

Dönüşüm %100 olduğunda yukarıdaki eşitlik için şu yorumlar yapılabilir.

1. Kısa polimer zincirlerinde daha yüksek molekül ağırlığı dağılımı elde edilir. Bunun nedeni ise; daha az aktivasyon-deaktivasyon aşaması içerdiginden kontrolün sağlanamamasıdır.
2. kp/kdeact oranı yüksekse daha yüksek molekül ağırlığı dağılımı elde edilir.
3. Deaktivatörün konsantrasyonu arttıkça sonuç polimerin molekül ağırlığı dağılımı azalır [19].

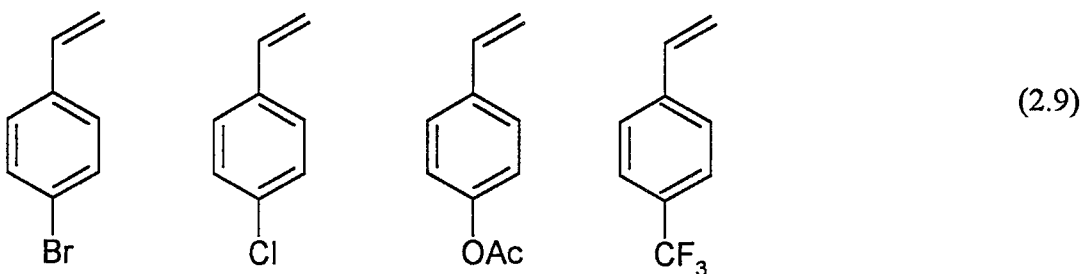
### **2.1.5.5. Monomer**

Stirenler, akrilatlar, metakrilatlar, akrilonitril ve dienler gibi birçok vinilik monomere ATRP uygulanabilir. Etilen,  $\alpha$ -olefinler, vinilklorür ve vinilasetat gibi az reaktif monomerler; stabilize edimemiş, çok reaktif radikal üretecekleri için polimerleştirilemezler. Polimerleştirilemeyecek bir başka monomer sınıfı ise; karboksilikasit grubu içeren monomerler. Çünkü bu monomerler hızlı bir şekilde Cu(II) ile reaksiyon vererek aktif olmayan Cu(II)karboksilat deaktivatörünü üretirler. Bu deaktivatör ise aktif Cu(I) kompleksine indirgenemez [20].

Demir, rutenyum, renyum, bakır kataliz sistemleri kullanılarak stirenin ATRP'si gerçekleştirilmiştir. Ancak çalışmaların çoğu bakır kataliz sistemi üzerine yoğunlaşmıştır. 1-fenilettilhalojenürler ve benzilik halojenürlere ek olarak polihaloalkanlar gibi farklı bileşikler stirenin ATRP'sinde başlatıcı olarak kullanılmıştır.

Reaksiyon çözücü kullanılarak yada kütle polimerizasyonu şeklinde gerçekleştirilebilir. Fakat halojen son grubun kararlılığı çözücüye bağlı olduğundan stirenin ATRP'sinde polar olmayan çözüçüler önerilir [21].

Molekül ağırlığı 1000'den 100000'e kadar değişen aralıkta düşük polidispersiteli polistiren örnekleri hazırlanmıştır. Düşük sıcaklıklarda, ıssız polimerizasyonun katkısı daha az olduğundan molekül ağırlığı kontrolü daha iyidir [17,22]. Buna ek olarak, aromatik halkada farklı sübstiyentler taşıyan stirenlerin kontrollü polimerizasyonu gerçekleştirilmiştir [23]. Aromatik halkada elektron çeken grup taşıyan stirenlerin daha hızlı polimerleştiği görülmüştür. Yani elektron çeken sübstiyent taşıyan stiren monomerlerinin atom transfer dengesi daha fazla sağa kaymaktadır. Bu sonuç elektron çeken grup taşıyan sekonderbenzilhalojenürlerin yüksek ATRP reaktivitesiyle açıklanabilir [24]. (2.9)'da ATRP ile polimerleştirilebilen çeşitli stirenler verilmiştir.



### 2.1.5.6. Çözücü ve Diğer Reaktanlar

ATRP genellikle kütle polimerizasyonu şeklinde gerçekleştirilir. Aynı miktarda reaktan kullanılsa bile çözelti polimerizasyonları kütle polimerizasyonlarına göre daha yavaştır. Benzen, *p*-metoksibenzen ve difenileter gibi polar olmayan çözüçüler kullanıldığı gibi etilenkarbonat ve propilenkarbonat gibi polar çözüçüler de kullanılabilir. Çözücü seçiminde bazı hususlara dikkat edilmelidir. Bunlardan birkaçı;

1. Bazı çözüçüler zincir transfer reaksiyonlarına neden olur.
2. Kataliz sistemi ile çözücü etkileşebilir. Kataliz sistemi çözücü ile çevrelenebilir ya da ligand yer değiştirebilir.
3. Polistirilhalojenür gibi bir çok halojen son gruplar yüksek sıcaklıklarda; solvolize ya da HX eliminasyonuna uğrayabilir.

### 2.1.5.7. Sıcaklık ve Reaksiyon Süresi

ATRP'de çoğalma ve atom transfer denge sabitlerinin her ikisi de sıcaklığın artmasıyla büyündüğünden gözlenen polimerizasyon hızı yüksektir. Çoğalma aşamasındaki aktivasyon enerjisi birleşme ve bölüşme ile sonlanma aşamasındakinden oldukça yüksektir. Dolayısıyla  $k_p/k_t$  oranı daha yüksektir ve bu yüzden yüksek sıcaklıkta daha iyi polimerizasyon kontrolü sağlanır. Fakat yüksek sıcaklıkta zincir transferi ve yan reaksiyonların oluşumu da daha hızlı olur. Genellikle yüksek sıcaklıklarda katalizin çözünürlüğü artarken, dekompoze olma ihtimali de artar. Bu yüzden her ATRP sistemi için monomer, kataliz sistemi ve istenen molekül ağırlığı gibi etkenlere bağlı olarak optimum sıcaklık bulunmaktadır.

Yüksek monomer dönüşümlerinde; çoğalma hızı önemli derecede azalır. Bunun yanında monomer konsantrasyonundan bağımsız yan reaksiyonların hızı değişmez. Uzayan polimerizasyon süresi polidispersiteyi artırmayabilir ancak uç grup kaybına neden olur. Bu nedenle; blok kopolimer oluşturmak üzere son grup fonksiyonalitesine sahip polimer elde edilirken %95 dönüşümün üzerine çıkışılmamalıdır.

## 2.2. Geleneksel Zincir Transfer Metodları

Serbest radikal polimerizasyondaki zincir transfer prosesi polimerlerin molekül ağırlığını frenlemede ve polimer zincir sonlarına fonksiyonellik kazandırmada kullanılır.

Zincir transfer ajanıyla gerçekleştirilen zincir transfer metodunun genel mekanizması (2.10)'da gösterildiği gibidir.



Büyüyen radikal  $P_n^{\bullet}$  zincir transferi ajanıyla  $R-X$  reaksiyona girer. Bu reaksiyon sonucunda  $P_nX$  polimeri ve monomerle reaksiyona girip yeni zincir üretecek olan  $\dot{R}$  radikalı üretilir.

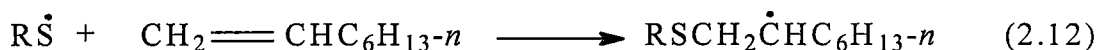
Halometanlar, disülfitler ve kolay koparılabilir hidrojen atomu taşıyan diğer bileşikler sık kullanılan zincir transfer ajanlarındanandır [25].

### 2.2.1. Zincir Transfer Reaksiyonlarında Merkaptanlar

İşık, peroksitler ya da oksijen tarafından induklenen merkaptanların alkenlerle reaksiyonu; serbest radikal katılma ürünleri sülfitleri verir [26].



Bir çok alken-merkaptan sisteminin yüksek sülfit ürünler; reaksiyonların yüksek zincir transfer sabitlerini açıklar. Metilmerkaptan ve tiofenolün 1-okten gibi bir üç alkene katılımı için transfer reaksiyonlarının enerjisi üzerine yapılan yorumlar; her iki reaksiyonun da ekzotermik olduğu yolundadır.



$$R = CH_3 \quad \Delta H = \sim -6,5 \text{ kcal/mol}$$

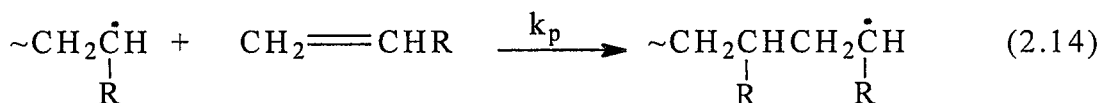
$$R = C_6H_5 \quad \Delta H = \sim -19,5 \text{ kcal/mol}$$

Hızlı zincir transferi için bir başka sebep ise; türeyen radikalın sağlayıcı ve merkaptanın kabul edici özelliğinin reaksiyonun ara ürününe kutupsal katkalarıdır. *n*-butil merkaptanın bazı polimerleşebilir monomerlerle olan zincir transfer sabitleri Tablo 2.1.'de görülmektedir.

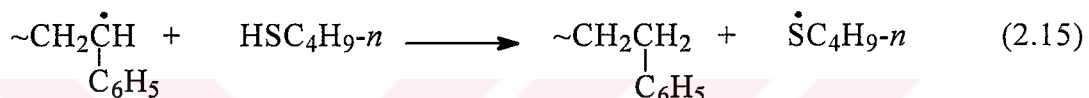
**Tablo 2.1.** *n*-butil merkaptanın bazı monomerlerle olan zincir transfer sabitleri

Monomer	Radikal	$k_{tr} / k_p$
Vinilasetat	$\begin{array}{c} \cdot \\   \\ CH_2-CH \\   \\ OAc \end{array}$	>48
Stiren	$\begin{array}{c} \cdot \\   \\ CH_2-CH \\   \\ C_6H_5 \end{array}$	22
Metil akrilat	$\begin{array}{c} \cdot \\   \\ CH_2-CH \\   \\ CO_2CH_3 \end{array}$	1,69
Metil metakrilat	$\begin{array}{c} \cdot \\   \\ CH_2-CCH_3 \\   \\ CO_2CH_3 \end{array}$	0,67

Hem vinalasetattan hem stirenden türeyen radikallerin, merkaptanla verdikleri zincir transfer reaksiyonları monomerleriyle verdikleri reaksiyonlarından daha hızlıdır.



Vinalasetattan türeyen radikalın reaktivitesinin nedeni rezonans stabilizasyonuna sahip olmamasıdır. Stirenden türeyen benzilik radikal yüksek derecede stabilize edilir, bu nedenle; türeyen radikalın stirene katılması reaksiyonu ekzotermikken transfer reaksiyonun hafif endotermik olabileceği takdir edilir.



$$\Delta H = \sim +4 \text{ kcal/mol}$$



$$\Delta H = \sim -18 \text{ kcal/mol}$$

Endotermik transfer reaksiyonun ekzotermik eklenme reaksiyonuyla yarışma kabiliyeti; eklenme prosesindeki hidrojen koparım aşamasındaki ara ürününde kutupsal etkileşimlerin önemli olduğunu gösterir.

Hidrojen koparımının ve eklenme reaksiyonlarının enerji değerleri akrilatlar ve stiren için yaklaşık aynıdır. Halbuki; akrilattan türeyen radikallerin alıcı özelliğinden dolayı stirene göre zincir transfer sabitleri daha küçüktür ve dolayısıyla kutupsal etki avantajına sahip değildir.

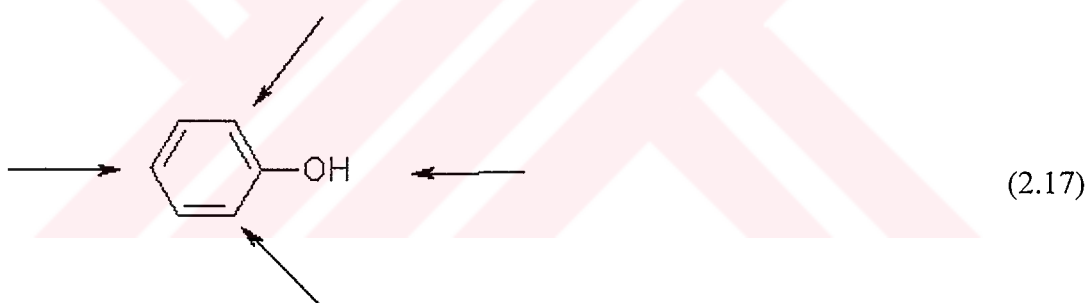
Tiyil radikallerinin doymamış bağlara katılmasının genellikle tersinir bir reaksiyon olduğu unutulmamalıdır. Merkaptan katılmasında sıcaklığın artırılmasının; katılma aşamasının tersinir olmasından dolayı; zincir transfer sabitine etkisi komplikedir. Zincir transfer prosesiyle yarışan türeyen radikal reaksiyonu; türeyen radikalın bozunmasıdır. Türeyen radikal ve onun parçalanma ürünlerleri arasında dengeye

ulaşıldığında, eklenme ürünü oluşum hızı türeyen radikalın konsantrasyonuna bağlı olacaktır. Artan sıcaklıkla dengenin til radikal alken bölümündeki entropi artışından dolayı; denge konsantrasyonunun ve sonuç olarak eklenme ürünlerinin azalması beklenir.

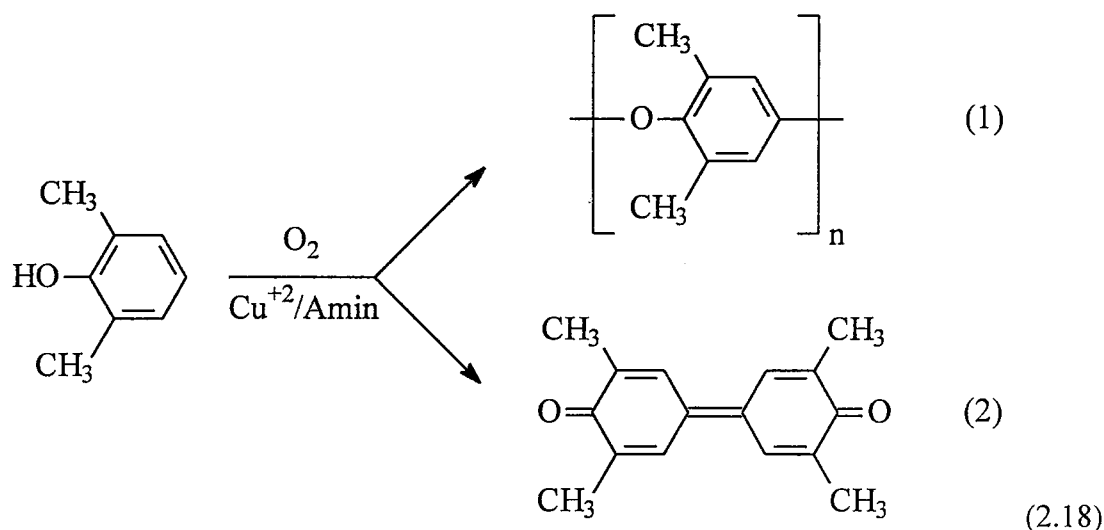
### 2.3. Fenollerin Oksidatif Birleşme Polimerizasyonu

Oksidatif birleşme polimerizasyon poli(fenilenoksit)'lerin üretiminde sıkılıkla tercih edilen bir metottur. Poli(fenilenoksit) kimyasal, oksidatif ve termal kararlılığından dolayı ticari öneme sahip bir materyaldir. 2,6-dimetilfenol'ün poli(fenilenoksit)'e bakır katalizli oksidasyonu 1959'da Alan S. Hay tarafından bulunmuştur [27].

Başlangıçta fenollerin direkt oksidasyonu araştırılmış ancak çok fonksiyonlu bir bileşik olan fenolde meydana gelmesi muhtemel C-C ve C-O kapling reaksiyonlarından dolayı başarılı olunamamıştır. (2.17)'de fenolün oksidasyonunda reaksiyon verebilecek bölgeler gösterilmektedir.



Bunun üzerine aktif pozisyonları bloke edilmiş fenoller üzerine yoğunlaşılmıştır. 2,6-dimetilfenolle yapılan çalışma sonucunda az miktarda 3,3,5,5'-tetrametil-4,4'-difenokinon (2) yan ürünüyle yüksek verimle polimer (1) elde edilmiştir.

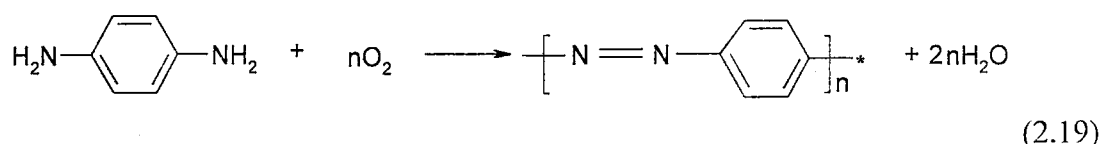


Genellikle iki orta pozisyonunda sübstiyent bulunduran fenoller olmak üzere bir çok fenol oksidatif birleşme polimerizasyonlarında kullanılabilir. Orta pozisyonunda alkil, aril, klor, brom, sübstiyenti bulunduran fenollerin çoğu yüksek verimle polimerleştirilebilir. Sübstiyentler hacimli olduğunda; difenokinon ana ürün haline gelir ve düşük verimle polimer elde edilir. Ürün verimlerinin örnekleri tablo 2.2.'de gösterilmiştir.

**Tablo 2.2.** Farklı fenollerin oksidatif birleşme polimerizasyonunun ürün verimleri

Monomer	Polimer (%)	Difenokinon (%)	Referans
2,6-dimetilfenol	85	3	28
2,6-difenilfenol	96	3	29
2,6-di-t-butilfenol	-	97	28
2,6-dimetoksifenol	-	74	28
2-kloro-6-metilfenol	83	-	28

Disübstiyefenollerin yanında iç pozisyonda oynak hidrojen içeren organik bileşikler de oksidatif polimerizasyon reaksiyonuna girebilir [30,31].



### **2.3.1. Kataliz Sistemi**

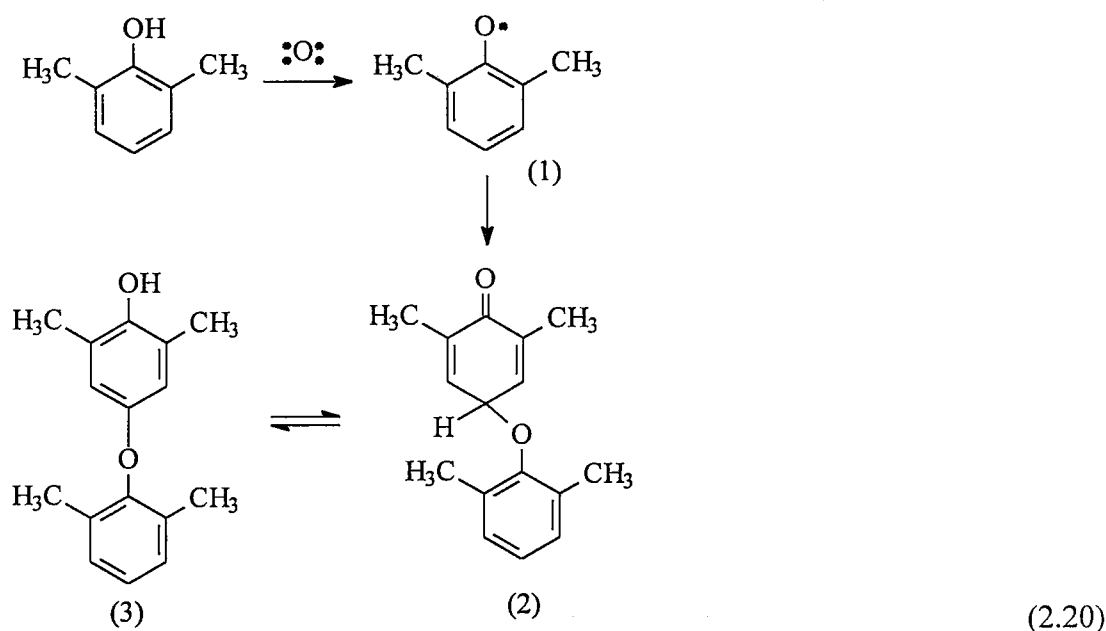
Oksidatif polimerizasyonun katalizleri genellikle; geçiş metal tuzu ve bazdan(ligand) oluşur. Okside edici ajan olarak normalde moleküller oksijen kullanılır. Polimeri çözen benzen, toluen gibi sıvılar reaksiyonda çözücü olarak kullanılabilir. Polimerizasyonun yan ürünü olan suyun ayrı bir faz oluşturarak katalizle reaksiyona girmesini önlemek üzere polar sıvılar sıklıkla çözücü olarak kullanılır. Genellikle geçiş metali olarak Cu ya da Mn kullanılır.

Polimerizasyonda bakır ligandi olarak kullanılan farklı aminler çok farklı aktiviteler gösterir. Örneğin; N,N'-di-t-butiletilentiamin polimerizasyon esnasında kolaylıkla hidroliz olmayan çok aktif bir kataliz oluşturur [32]. N,N,N',N'-tetrametiletilentiamin gibi diaminler ise genellikle bir monoaminle kombine edilerek kullanılır [33]. Di-n-butilamin'in bakırla oluşturduğu kataliz sudan etkilenmediği için kurutucu ajan ilavesi gerekmek [34]. Piridin [27], morfolin, 4-N,N-(dimetilamino)piridin [35], diazobisiklononen [36] kullanılan heterosiklik amintiplerindendir. Poli(vinilpiridin) [37,38], imidazol polimerleri [39], poli(N,N-dialkilaminostiren) [40], poli(iminotrimetilen) [41] ligand görevi yapabilen polimerik aminlerdir.

### **2.3.2. Oksidatif Birleşme Polimerizasyonun Mekanizması**

Fenollerin oksidatif birleşme polimerizasyonu için farklı mekanizmalar önerilmiştir[42]. Katalizlerin rolü ve polimerizasyon kinetiği üzerine çalışmalar yapılmıştır [43].

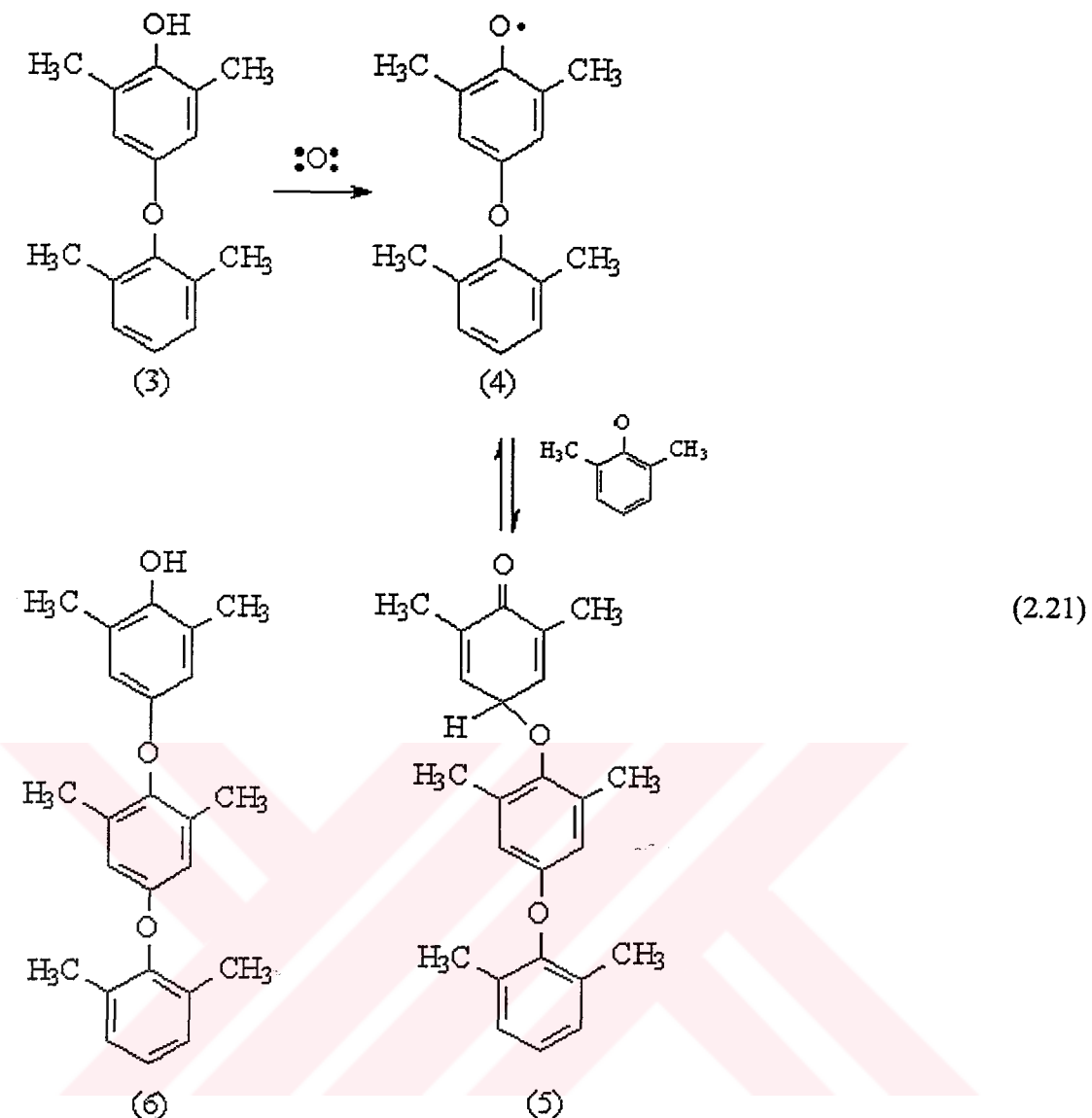
Önerilen mekanizmalardan biri (2.20)'de gösterilmiştir.



Fenolün yüksek oksidasyon basamağındaki kataliz tarafından oksitlenmesi ile ariloksi radikali oluşur (1). Ariloksi radikalının dimerleşmesi ile oluşan siklohekzadienon (2) enolizasyon ile dimeri verir (3).

Devamında (2.21)'de görüldüğü üzere bu dimerin oksidasyonu ile oluşan dimer radikali (4), ariloksi radikalıyla çiftleşerek kinoleteri oluşturur (5). Kinoleterin enolizasyonu ile trimer oluşur (6).

Polimerizasyon, sadece büyüyen zincire bir ünitenin eklenmesi ile ilerlemez, oligomerik radikaller de birleşme yapar.

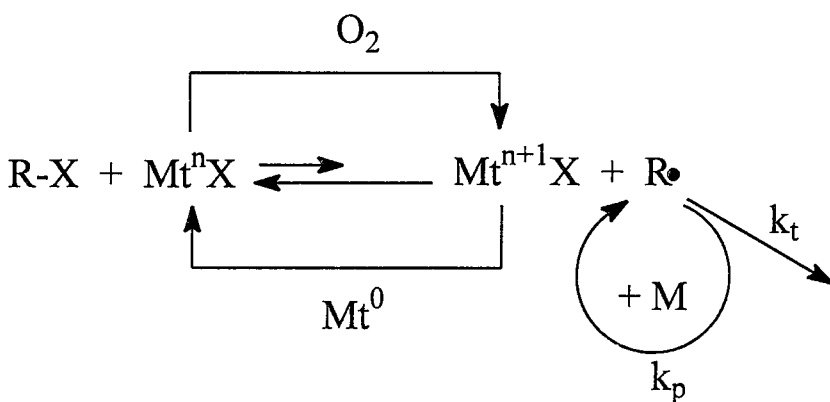


#### 2.4. O<sub>2</sub> Varlığında Gerçekleştirilen ATRP

Fenolik bileşikler radikal polimerizasyonları durdurulan inhibitörler olarak bilinir. Bu tür bileşiklerin, metilmetakrilat atom transfer radikal polimerizasyonunda, inhibitör olmalarına rağmen polimerizasyonda artışa neden oldukları gözlenmiştir [44].

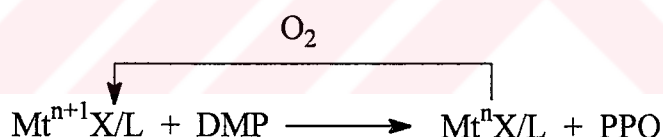
Ayrıca, fenolik inhibitör içeren saflaştırılmamış monomer ve az miktardaki oksijen varlığında ATRP'nin gerçekleştiği bulunmuştur [45]. Yapılan bu çalışmada yüksek oksidasyon basamağındaki ve sıfır valensli metal tuzlarının bir karışımı kullanılmıştır. Şekil (2.1)'de görüldüğü üzere, sıfır valens metal ile  $M_t^{n+1}X_2$

arasındaki redoks reaksiyonu, sürekli  $M_t^nX$  üretir. Oksijenin tükenmesi ile ortamda  $M_t^nX$  oluşması ile de kontrollü polimerizasyon için uygun şartlar yerine gelmiş olur.



**Şekil 2.1.** Oksijenli ortamda gerçekleştirilen ATRP mekanizması

Metal komplekslerinin redoks çiftlerine dayalı bu tip sistemler sadece ATRP'ye özgü değildir. Buna benzer bir sistem, 2,6-disübstitiyye alkil fenollerin oksidatif birleşme polimerizasyonunda mevcuttur [46]. 1959 yılında A. S. Hay tarafından yapılan reaksiyonda Cu(I) ve Cu(II)- amin kompleksleri katalizör olarak kullanılmıştır.

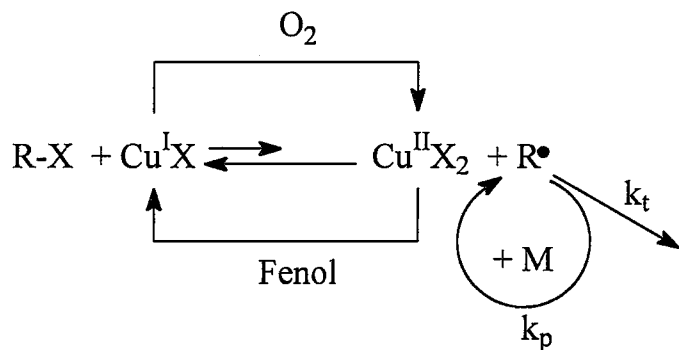


DMP : 2,6-dimetilfenol  
PPO : Poli(fenilenoksit)  
L : Ligand (amin)

**Şekil 2.2.** Fenollerin oksidatif birleşme polimerizasyonunun mekanizması

Bu prosesde, fenol ve Cu(II) arasındaki elektron transferi, başka bir fenol molekülü ile reaksiyona girerek polimer verecek olan aktif fenolik türleri verir. Moleküler oksijen, polimerizasyondaki Cu(II) katalizörünü yeniden üretilmesinde oksitleyici araç olarak kullanılır. Bu iki polimerizasyon sistemi arasındaki benzerlikten faydalananarak oksijenli ortamda fenolik bileşikler varlığında ATRP sistemi ortaya atılmıştır. Şekil (2.3). Yapılan çalışmalarda fenol ve sodyum fenoksit kullanılarak sınırlı oksijen varlığında stiren, metilmetakrilat ve metilakrilat Cu(II) ve Cu(I) –

amin kompleksleri kullanılarak ATRP uygulanmış ve dar bir molekül ağırlığına sahip polimerler elde edilmiştir. Yapılan bu çalışma ile Cu(I) tuzlarının yerine Cu(II) tuzlarının başarıyla kullanılabildiği gözlenmiştir [47].



**Şekil 2.3.** Fenol ve oksijen varlığında gerçekleştirilen ATRP mekanizması

### **3. DENEYSEL ÇALIŞMALAR**

#### **3.1. Kullanılan Kimyasallar**

Monomer olarak kullanılan Stiren (Merck, 99%) CaH<sub>2</sub> üzerinden vakum destilasyonu yapıldı. Ligand *N,N,N',N'',N'''*-pentametildietilentriamin (PMDETA) (Aldrich) NaOH üzerinden destillendi. Kinetik çalışmalarda iç standart olarak kullanılan anisol Na metali üzerinden destillendi. Sodyum tiyofenolatın hazırlanmasında kullanılan kuru THF; THF'in LiAlH<sub>4</sub> üzerinden destilleşmesiyle elde edildi.

Diğer kimyasal bileşikler saflandırma işlemi uygulanmadan kullanıldı. CuCl<sub>2</sub> ve CuCl (Merck), 1-koro-1-feniletan (Acros), tiyofenol(Aldrich, 97%), *p*-metoksitiyofenol (Aldrich, 99%), 2,6-dimetiltiyofenol (Acros, 99%), *p*-nitrotiyofenol (Acros, 95%).

##### **3.1.1. Sodyumtiyofenolat Sentezi**

50ml kuru THF, 1,1g. tiofenol(1mol), 0,264g. NaH (%80'lik mineral yağ içinde 1,1mol) balon içine konulup karıştırılır. Gaz çıkıştıktan sonra 2 saat daha karıştırılır, süzülür az miktarda kuru THF ile yıkandıktan sonra, oda sıcaklığındaki etüvde kurutulur ve desikatörde saklanır.

#### **3.2. Polistiren Örneklerinin Sentezi İçin Genel Prosedür**

İçinde magnet bulunan schlenk tüpüne(24ml) sırasıyla monomer, CuCl<sub>2</sub>, PMDETA, tiyofenol veya tiyofenol türevi ve başlatıcı konulup kauçuk serum kapak ile kapatılarak 110°C'deki yağ banyosunda polimerleştirildi. Polimerizasyon sonunda reaksiyon karışımı soğutulup THF ile seyreltildi ve katalizden arındırmak için nötral alümina (Brockmann tip I) kolondan geçirildi. THF'in ve reaksiyona girmemiş monomerin fazlası düşük basınçta buharlaştırılarak uzaklaştırıldı. Polimer metanolde çöktürüldükten sonra filtreden (porsite No 4) süzülerek vakum etüvünde bir gece

oda sıcaklığında kurutuldu. Polimerizasyon dönüşümleri gravimetrik olarak hesaplandı. Yapılan çalışmalarda yaklaşık boşluk hacmi;

Boşluk Hacmi= Kap Hacmi – Kullanılan Kimyasalların Toplam Hacmi  
şeklinde hesaplandı.

### **3.3. Gaz Kromatografi Cihazında Dönüşümün İncelenmesi**

19ml'lik erlene magnet, stiren, CuCl<sub>2</sub>, PMDETA, tiyofenol veya türevi, iç standart anisol ve başlatıcı 1-kloro-1-feniletan konulduktan sonra oda sıcaklığında karıştırıldı ve yağ banyosuna konulmadan önce örnek çekilerek gaz kromatografi cihazına verildi (0.örnek). Yağ banyosuna konulan reaksiyon erleninden belirli aralıklarda örnek çekilerek gaz kromatografi cihazına verilip polimerizasyon dönüşümü hesaplandı. Erlene örnek alımı esnasında hava girişini önlemek üzere azot balonu bağlandı. Çekilen örnekler molekül ağırlıklarının ve molekül ağırlığı dağılımlarının belirlenmesi için GPC'ye verildi.

### **3.4. Zincir Uzatma Polimerizasyonu**

Sırasıyla monomer, CuCl, PMDETA ve makrobaşlatıcının (üstte verilen yöntem ile hazırlanan polistiren örneği PS 9) konulduğu schlenk tüpü çözünmüş oksijeni uzaklaştırmak için yüksek vakum hattında üç kez degas edildi. sonra 110°C'deki yağ banyosunda polimerleştirildi. Saflaştırma işlemi 3.2'de anlatıldığı gibi yapıldı.

### **3.5. Elde Edilen Polimerlerin Karakterizasyonu**

#### **3.5.1. Jel Geçirgenlik Kromatografi Cihazı**

Agilent 1100 marka jel geçirgenlik kromatografi cihazı; 1100 model Agilent Pompa, Refraktif Index dedektör, değiştirilebilir dalga boylu UV dedektör ve 4 adet (HR 5E, 4E, 3, 2) waters styrigel kolondan oluşmaktadır. Polimerlerin molekül ağırlıkları ve molekül ağırlık dağılımlarının bulunmasında Polymer Laboratories'in PS ve PMMA

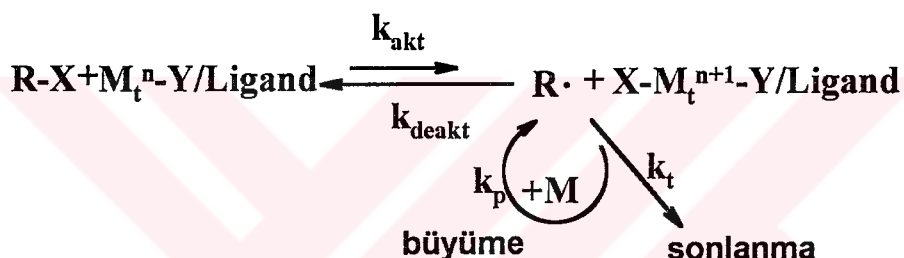
standartlarından yararlanılmıştır. Ölçümler hareketli faz olan THF (HPLC kalitesinde) 30°C'de 0.3ml/dk akış hızı kullanılarak yapılmıştır.

### **3.5.2. Gaz Kromatografi Cihazı**

Polimerizasyon dönüşümü J&W scientific 15m DB WAX Widebore kapiler kolonlu, FID dedektörlü Unicam 610 seri gaz kromatografi cihazı ve iç standart olarak anisol kullanılarak hesaplandı. Kromatografik Koşullar; injektör ve dedektör sıcaklığı 280°C'de, kolon başlangıç sıcaklığı: 40°C'ta (3 dakika), ısıtma hızı 20 °C / dakika kolon son sıcaklığı: 120°C (1 dakika).

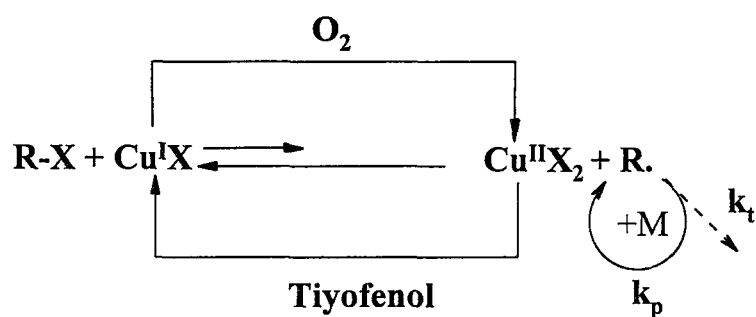
#### 4. SONUÇLAR ve TARTIŞMALAR

Klasik ATRP'de şekil 4.1.'de görüldüğü üzere; alkil halojenürden çıkarılan bir halojen atomu düşük oksidasyon basamağındaki metal tuzu kompleksinin yüksek oksidasyon mertebesine çıkışmasına neden olur. Bu reaksiyon sonucu bir organik radikal ve yüksek oksidasyon basamağındaki geçiş metal tuzu kompleksi oluşur. Bu radikal doymamış monomere eklenir ya da yüksek oksidasyon basamağındaki geçiş metal tuzu kompleksinden halojen atomu kopararak uyuyan tür haline döner.



Şekil 4.1. ATRP'nin genel mekanizması

Bu çalışmada gerçekleştirilen reaksiyonlarda ise düşük oksidasyon basamağındaki Cu(I) reaksiyon ortamında Cu(II)'nın tiyofenol veya türevi tarafından indirgenmesi sonucu oluşmaktadır. Sonra sistem klasik ATRP'deki gibi alkil halojenürden atom transferi sonucu organik radikal ve Cu(II) halojenür oluşturur. Organik radikal doymamış monomere eklenir ve polimerizasyon devam eder. Reaksiyonun gösterimi şekil 4.2.'de verilmiştir.



**Şekil 4.2.** Tiyofenol ve oksijen varlığında gerçekleştirilen ATRP'ye önerilen mekanizma

#### 4.1. Genel Prosedürle Hazırlanan Polistirenler

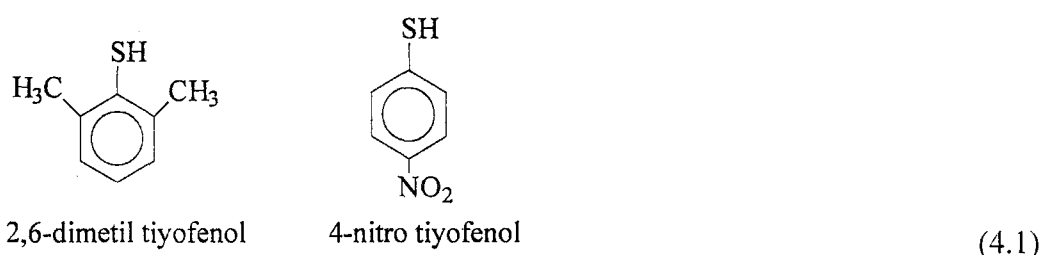
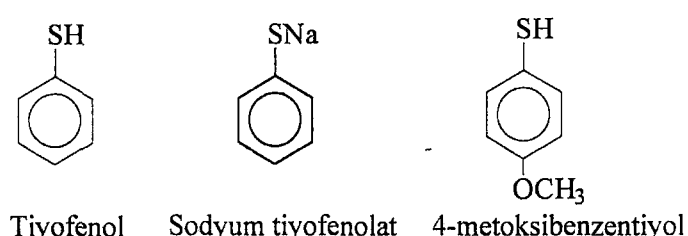
##### 4.1.1. Farklı Tiyofenollerin Stirenin ATRP'si Üzerine Etkisi

Tiyofenol yapısının stirenin Atom Transfer Radikal Polimerizasyonu üzerine etkisini belirlemek üzere özel bir koşul seçildi.  $[PMDETA] : [CuCl_2] = 20$  oranı sabit tutuldu ve tiyofenol türevlerinin dönüşüm üzerindeki etkisi iki değişkenden elde edildi.

1. Tiyofenol halkasına bağlı gruplar.

2. Tiyofenol halkasının sterik engeli.

(4.1)'de kullanılan tiyofenol türevleri gösterilmiştir.



Tablo 4.1.'den görülebileceği gibi tiyofenol ya da türevi kullanılmadığında polimerizasyon gerçekleşmemektedir. Bu veri Atom Transfer Radikal Polimerizasyonun başlama aşamasının gerçekleşebilmesi için ortamda bulunması gereken düşük oksidasyon basamağındaki geçiş metal tuzunun, CuCl<sub>2</sub>'ün tiyofenol ya da türevleri tarafından indirgenmesiyle reaksiyon ortamında oluşturulduğunu öngören mekanizmayı desteklemektedir.

Elektron verici grup taşıyan tiyofenoller polimerizasyon dönüşümünü artırmış ve molekül ağırlığı dağılımını düşürmüştür. Yani sodyum tiyofenolatın en etkili, *p*-nitrotiyofenolün ise en az etkili olduğu bulunmuştur. Bunun yanında [CuCl<sub>2</sub>] : [PhSNa] = 6 oranı kullanıldığında (PS1) kontrollü polimerizasyon koşulları kaybedilmektedir. Ortamda indirgeyici sodyum tiyofenolatın çok fazla bulunması; ATRP'de deaktivatör olan Cu(II)'nin tümünün Cu(I)'e indirgenmesine sebep oluyor ve molekül ağırlığı dağılımının yüksek olmasından anlaşıldığı üzere deaktivasyon aşaması olmadığı için sistem klasik radikal polimerizasyon sistemi haline geliyor.

Hiperkonjugasyonla tiyofenol halkasına elektron sağlayan metil grupları taşıyan 2,6-dimetil tiyofenolün kullanıldığı deneyde; polimerizasyonun öngörülen zamanda yüksek verimlere ulaşamaması, 2,6- pozisyonda grup taşıyor olmasından dolayı Cu<sup>+2</sup> ile kompleksasyonunun zayıflamasına yani tiyofenolden Cu<sup>+2</sup>,ye elektron transferinin gecikmesine atfedilebilir.

#### 4.1.2. Stirenin ATRP Üzerine Sodyum Tiyofenolat Miktarının Etkisi

Amaç minimum reaktanla makul sürede yüksek dönüşüm, düşük molekül ağırlığı dağılımı ve iyi bir başlatıcı etkinliği elde etmektir.

Tablo 4.2. reaktan olarak sodyum tiyofenolatın kullanıldığı stirenin ATRP'si üzerine sodyum tiyofenolat miktarının etkisini göstermektedir.

[PhSNa] : [CuCl<sub>2</sub>] = 1 oranı kullanıldığında yavaş polimerizasyon elde edilirken, [PhSNa] : [CuCl<sub>2</sub>] = 1,5 oranı kullanıldığında polimerizasyon hızıyla birlikte molekül ağırlığı dağılımının da arttığı gözlenmiştir. Bunun yanında [PhSNa] : [CuCl<sub>2</sub>] = 1,5 oranı kullanılıp başlatıcı sonradan eklendiğinde hem hızlı polimerizasyon hem de düşük molekül ağırlığı dağılımı ve yüksek başlatıcı etkinliği

elde edilmiştir.  $[PhSNa] : [CuCl_2] = 2$  oranı kullanıldığında ise hızlı polimerizasyon elde edilmesine rağmen; molekül ağırlığı dağılımının arttığı ve başlatıcı etkinliğinin azaldığı gözlenmiştir.

Sodyum tiyofenolat miktarının verdigimiz aralikta artırılması sonucu polimerizasyon dönüşümünün arttığı gözlenmiştir. Bu sonuç sodyum tiyofenolat miktarının artmasıyla ATRP'de deaktivatör olan Cu(II)'nin, reaksiyon ortamında konsantrasyonu artan sodyum tiyofenolat tarafından kolayca Cu(I)'e indirgenmesiyle açıklanabilir. Ancak tablo 4.1 PS1'den de hatırlanacağı üzere sodyum tiyofenolat miktarının belli bir sınırın üzerine çıkmasıyla kontrollü polimerizasyon koşulları kaybedilmektedir.

#### 4.1.3. Stirenin ATRP Üzerine PMDETA Miktarının Etkisi

Reaktan olarak sodyum tiyofenolatın kullanıldığı stirenin ATRP'sine PMDETA miktarının etkisini tablo 4.3. göstermektedir. PMDETA miktarının artırılmasıyla polimerizasyon hızının arttığı ve molekül ağırlığı dağılımının düştüğü gözlenmiştir. Bu sonuç, yüksek ligand konsantrasyonuyla reaksiyon karışımının bazılığının artırılarak Cu(II)'nin indirgenmesinin kolaylaşmasına atfedilebilir. Ayrıca artan ligand konsantrasyonuyla Cu(II)'nin çözünürlüğünün artacağı da göz önünde bulundurulmalıdır.

#### 4.1.4. Stirenin ATRP Üzerine *p*-metoksi tiyofenol ve Boşluk Hacminin Etkisi

Tablo 4.4. reaktan olarak *p*-metoksi tiyofenolün kullanıldığı stirenin ATRP'sine; boşluk hacminin ve başlatıcının sonradan eklenmesinin etkisini göstermektedir

Boşluk hacminin dolayısıyla oksijen konsantrasyonun artmasıyla; ATRP'de deaktivatör olan Cu(II)'nin; ortamda Cu(II)'ye tiyofenolden elektron transferiyle oluşan Cu(I)'in yükselgenmesi sonucu oluşumunu hızlandırmakta ve polimerizasyon hızı yavaşlamaktadır.

Bunun yanında başlatıcının sonradan eklenmesinin dönüşümü pek fazla etkilemediği gözlenmiştir.

**Tablo 4.1.** Farklı tiyofenol türevlerinin stiren polimerizasyonu üzerine etkisi

PS	Tiyofenol veya Türevi	Dönüştüm(%)	M <sub>n<sub>teo</sub></sub>	M <sub>n<sub>GPC</sub></sub>	M <sub>w/M<sub>n</sub></sub>	f
1	Sodyumtiyofenolat	60	6250	23600	1,94	0,26
2 <sup>a</sup>	Sodyumtiyofenolat	74	7700	7950	1,27	0,97
3	p-metoksitiyofenol	67	7000	6700	1,50	1,04
4	Tiyofenol	62	6450	8300	1,50	0,77
5	2,6-dimetiltiyofenol	44	4600	4900	1,72	0,94
6	p-nitrotiyofenol	Eser	-	-	-	-
7	Tiyofenol ya da türevi yok	Eser	-	-	-	-

[M]<sub>0</sub> : [I]<sub>0</sub> : [CuCl<sub>2</sub>] : [PMDETA] : [Tiyofenol veya Türevi] = 100 : 1 : 0,5 : 10 : 3  
 Stiren 110°C'deki yağ banyosunda 240 dk polimerleştirildi. Boşluk hacmi ~ 24,4ml  
 a [PhSNa] : [CuCl<sub>2</sub>] = 1,5

**Tablo 4.2.** Sodyum tiyofenolat miktarının stirenen ATRP üzerine etkisi

PS	[PhSNa]/[CuCl <sub>2</sub> ] <sub>0</sub>	Dönüştüm (%)	M <sub>n</sub> <sub>teo</sub>	M <sub>n</sub> <sub>GPC</sub>	M <sub>w</sub> /M <sub>n</sub>	f
8	1	54	5600	6250	1,24	0,89
9	1,5	70	7300	7400	1,31	0,98
10 <sup>b</sup>	1,5	84	8750	8400	1,16	1,04
11 <sup>c</sup>	1,5	85	8850	12560	1,23	0,70
12	2	81	8450	10500	1,31	0,80

$[M]_0 : [I]_0 : [CuCl_2] : [PMDETA] = 100 : 1 : 0,5 : 5$  Boşluk hacmi ~ 24,8 ml  
 110°C'deki yağ banyosunda 360dk polimerleştirildi.

b Başlatıcı deney tüpü yağ banyosuna konulduktan 8dk sonra ortama ilave edildi.

c Boşluk hacmi ~ 12,40ml Tüm maddeler 2 kat alındı.

**Tablo 4.3. PMDETA miktarının stirenin ATRP üzerine etkisi**

PS	[PMDETA] / [CuCl <sub>2</sub> ]	Dönüşüm (%)	M <sub>n</sub> <sub>teo</sub>	M <sub>n</sub> <sub>GPC</sub>	M <sub>w</sub> /M <sub>n</sub>	f
13	5	57	5950	5600	1,39	1,06
14 <sup>d</sup>	5	73	7600	8500	1,33	0,89
15	10	70	7300	7400	1,31	0,86
16	20	90	9400	11900	1,19	0,79

[M]<sub>0</sub> : [I]<sub>0</sub> : [CuCl<sub>2</sub>] : [PhSNa] = 100 : 1 : 0,5 : 0,75  
 Stiren 110°C'deki yağ banyosunda 360 dk polimerleştirildi. Boşluk hacmi ~27,5ml  
<sup>d</sup> [PhSNa] : [CuCl<sub>2</sub>] = 2

**Tablo 4.4.** *p*-metoksitiyofenol ve boşluk hacminin stirenin ATRP üzerine etkisi

PS	Böşluk Hacmi (ml)	Dönüştüm (%)	M <sub>n</sub> <sub>eo</sub>	M <sub>n</sub> <sub>GPC</sub>	M <sub>w</sub> /M <sub>n</sub>	f
17	24,6	62	6450	6500	1,32	0,99
18 <sup>b</sup>	24,6	68	7100	6400	1,34	1,11
19	15,6	80	8350	8000	1,31	1,04
20 <sup>b</sup>	15,6	82	8550	9900	1,28	0,86

[M]<sub>0</sub> : [I]<sub>0</sub> : [CuCl<sub>2</sub>] : [PMDETA] : [*p*-metoksitiyofenol] = 100 : 1 : 0,5 : 5 : 1,5  
Stiren 110°C'deki yağ banyosunda 360 dk polimerleştirildi.

b Deney tüpü yağ banyosuna konulduktan 8 dk sonra başlatıcı ortama ilave edilmiştir.

## 4.2. Kinetik Çalışmalar

Bu çalışmalar polimerizasyon dönüşümünü gaz kromatografi cihazında incelemek amacıyla yapılmıştır.

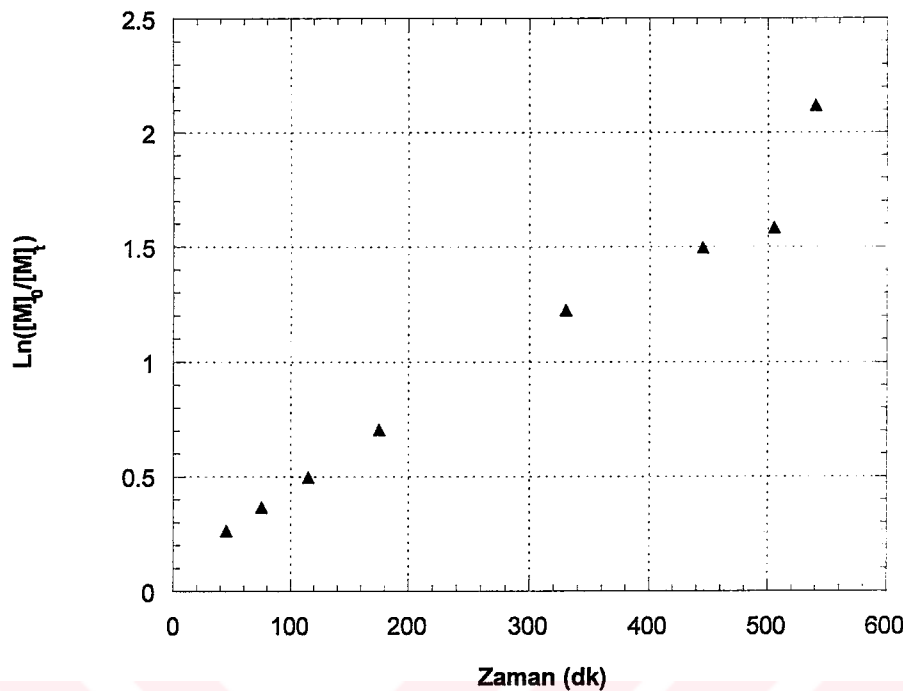
### 4.2.1 Sodyum Tiyofenolatın Reaktan Olarak Kullanıldığı Kinetik Çalışma

$[M]_0 : [I]_0 : [CuCl_2] : [PMDETA] : [PhSNa] = 100 : 1 : 0,5 : 5 : 0,75$  iç standart olarak 0,3ml anisol ilave edildi. Elde edilen sonuçlar tablo 4.5.'te görülmektedir.

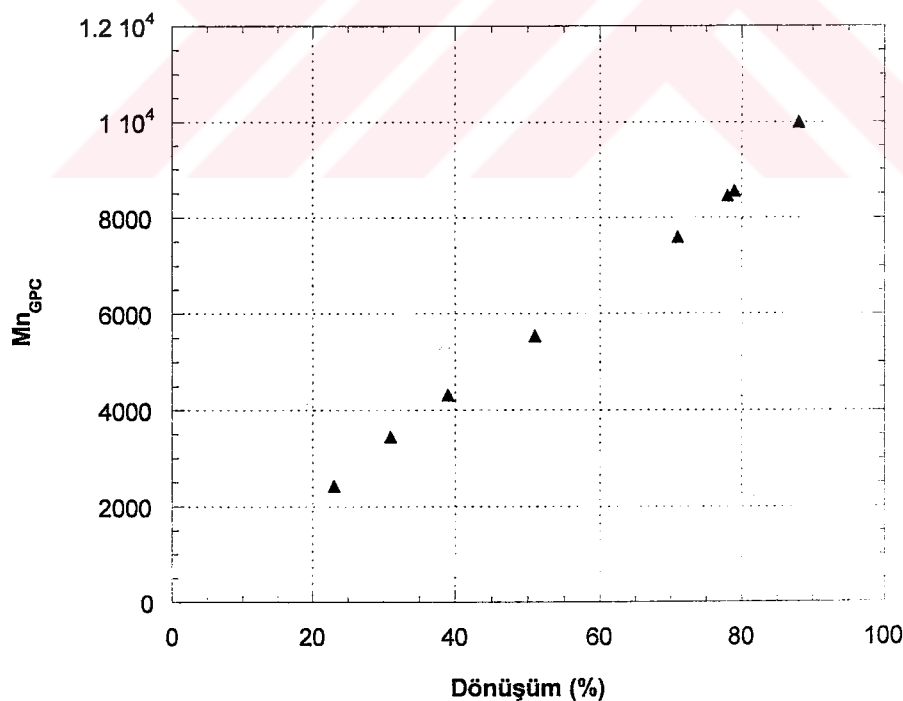
**Tablo 4.5.** Stirenin sodyum tiyofenolat ile gerçekleştirilen polimerizasyonu

Örnek	Süre(dk)	$\ln([M]_0/[M]_t)$	Dönüşüm (%)	$M_{n\text{teo.}}$	$M_{n\text{GPC}}$	$M_w/M_n$
1-1	45	0.263	23	2400	2430	2.035
1-2	75	0.366	31	3230	3450	1.577
1-3	115	0.497	39	4060	4320	1.445
1-4	175	0.704	51	5310	5540	1.320
1-5	330	1.224	71	7390	7590	1.269
1-6	445	1.496	78	8120	8450	1.229
1-7	505	1.583	79	8230	8550	1.250
1-8	540	2.120	88	9160	10000	1.224

Bu sonuçlara bağlı olarak çizilen grafikler şekil 4.3. ve şekil 4.4.'te görülmektedir.



**Şekil 4.3.**  $[M]_0 : [I]_0 : [CuCl_2] : [PMDETA] : [PhSNa] = 100 : 1 : 0,5 : 5 : 0,75$   
 110°C'de gerçekleştirilen stiren polimerizasyonu için kinetik değerler.  
 Boşluk hacmi  $\approx 14\text{ml}$   $[St]=8,73\text{mol.l}^{-1}$



**Şekil 4.4.**  $[M]_0 : [I]_0 : [CuCl_2] : [PMDETA] : [PhSNa] = 100 : 1 : 0,5 : 5 : 0,75$   
 110°C'de gerçekleştirilen stiren polimerizasyonu için kinetik değerler.  
 Boşluk hacmi  $\approx 14\text{ml}$   $[St]=8,73\text{mol.l}^{-1}$

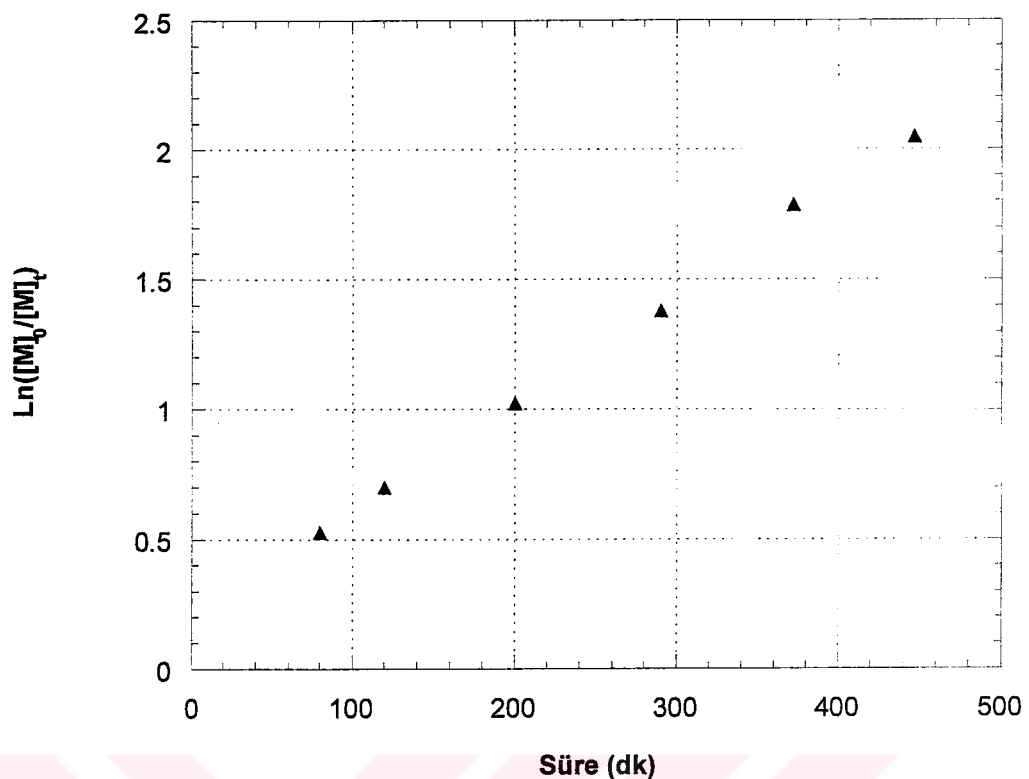
#### 4.2.2. *p*-metoksi Tiyofenolün Reaktan Olarak Kullanıldığı Kinetik Çalışma

$[M]_0 : [I]_0 : [CuCl_2] : [PMDETA] : [p\text{-metoksitiyofenol}] = 100 : 1 : 0,5 : 5 : 1,5$  İç standart olarak 0,3ml anisol ilave edildi. Başlatıcı yağ banyosuna yerleştirilen reaksiyon erlenine 8dk. sonra eklendi. Elde edilen sonuçlar tablo 4.6.'da görülmektedir.

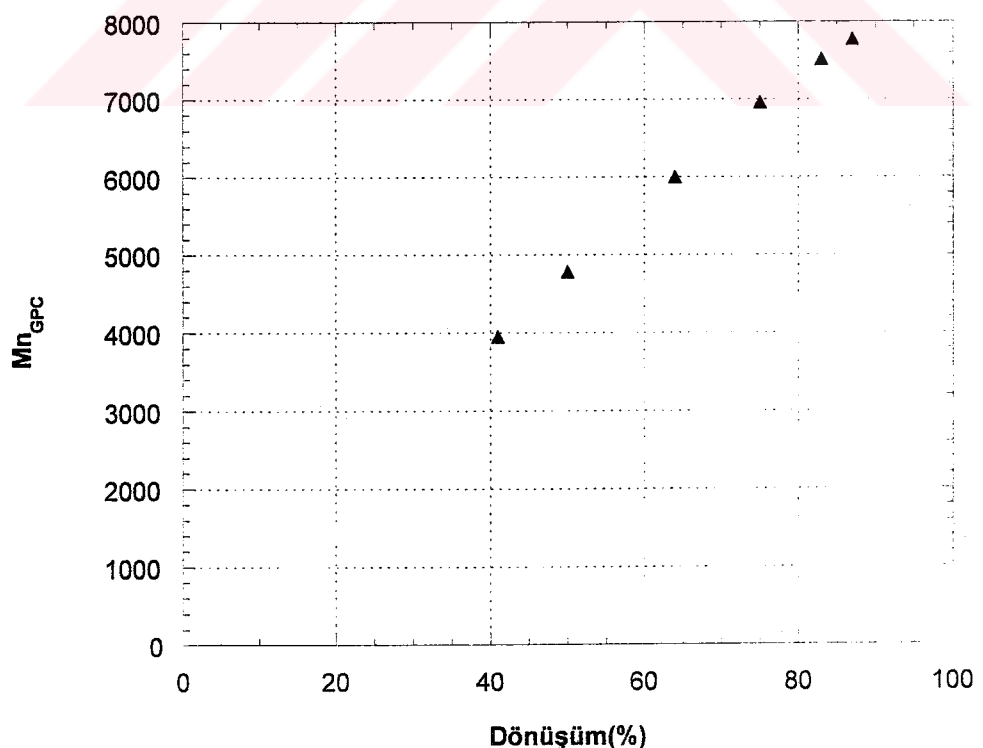
**Tablo 4.6.** Stirenin *p*-metoksi tiyofenol ile gerçekleştirilen polimerizasyonu

Örnek	Süre(dk)	$\ln([M]_0/[M])_t$	Dönüşüm (%)	$M_{n\text{teo}}$	$M_{n\text{GPC}}$	$M_w/M_n$
2-1	80	0.528	41	4270	3950	1.58
2-2	120	0.700	50	5200	4780	1.44
2-3	200	1.023	64	6670	6000	1.38
2-4	290	1.380	75	7810	6960	1.36
2-5	372	1.785	83	8650	7520	1.35
2-6	447	2.047	87	9060	7780	1.36

Bu sonuçlara bağlı olarak çizilen grafikler şekil 4.5. ve şekil 4.6.'da görülmektedir.



**Şekil 4.5.**  $[M]_0 : [I]_0 : [CuCl_2] : [PMDETA] : [p\text{-metoksitiyofenol}] = 100 : 1 : 0,5 : 5 : 1,5$  110°C'de gerçekleştirilen stiren polimerizasyonu için kinetik değerler. Boşluk hacmi  $\approx 14\text{ml}$   $[St]=8,73\text{mol.l}^{-1}$

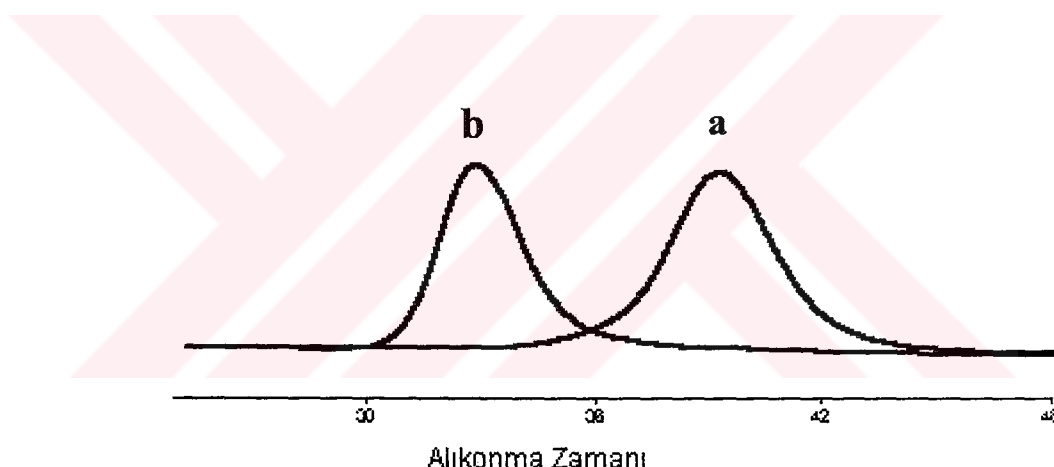


**Şekil 4.6.**  $[M]_0 : [I]_0 : [CuCl_2] : [PMDETA] : [p\text{-metoksitiyofenol}] = 100 : 1 : 0,5 : 5 : 1,5$  110°C'de gerçekleştirilen stiren polimerizasyonu için kinetik değerler. Boşluk hacmi  $\approx 14\text{ml}$   $[St]=8,73\text{mol.l}^{-1}$

Her iki kinetik çalışmadan elde edilen sonuçlara bağlı olarak çizilen zamana karşı  $\ln([M]_0/[M]_t)$  grafiklerinin doğrusal olması polimerizasyonun birinci dereceden kinetiğe uyduğunu göstermektedir. Elde edilen polimerlerin jel geçirgenlik kromatografisi ile ölçülen sayıca ortalama molekül ağırlıklarının %dönüşüm ile doğrusal artması ise radikal konsantrasyonun polimerizasyon süresince sabit kaldığını gösterir.

#### 4.3. Zincir Uzatma Polimerizasyonu

Elde edilen polimerlerin halojen son grup taşıdığını göstermek üzere zincir uzatma polimerizasyonu gerçekleştirildi. Yüksek alikonma zamanına sahip a piki makro başlatıcıya, düşük alikonma zamanlı b piki ise zincirleri klasik ATRP ile uzatılmış polimere aittir.



**Şekil 4.7.** Makro başlatıcı (a) ve zinciri uzatılmış polimerin (b) GPC pikleri.

a  $[M]_0 : [I]_0 : [\text{CuCl}_2] : [\text{PMDETA}] = 100 : 1 : 0.5 : 5 : 0.75$

$Mn_{\text{GPC}} = 7400$  PDI = 1.31

110°C'deki yağ banyosunda 360dk. polimerleştirildi.

b  $[M]_0 : [I]_0 : [\text{CuCl}] : [\text{PMDETA}] = 500 : 1 : 1 : 1$

$Mn_{\text{GPC}} = 57500$  PDI = 1.36

110°C'deki yağ banyosunda 960 dk. polimerleştirildi.

## **5. SONUÇLAR VE ÖNERİLER**

Bu çalışmada tiyofenol ya da türevlerinin indirgeyici reaktan olarak kullanıldığı stirenin Atom Transfer Radikal Polimerizasyonu CuCl<sub>2</sub>/PMDETA katalizliğinde ve sınırlı miktarda hava varlığında gerçekleştirılmıştır. Polimerizasyon hızının monomer konsantrasyonuna göre 1. dereceden olduğu yapılan kinetik çalışmalarla gözlenmiştir. Bu metotla elde edilen polimerler düşük polidispersite indeksi ( $M_w/M_n < 1.5$ ) göstermiştir. Her ne kadar polimerizasyon sisteminin katalizi CuCl<sub>2</sub>/PMDETA olsa da polimerizasyonun gerçekleşmesi için Cu(II)'nin Cu(I)'e dönüşmesi gerektiği unutulmamalıdır. Gerekli Cu(I)'in, Cu(II)'ye tiyofenolden elektron transferi sonucu oluşması deneysel sonuçlara bağlı olarak yapılabilecek en uygun açıklamadır. Sodyum tiyofenolat ve elektron verici grup taşıyan tiyofenollerin ATRP için etkili reaktanlar olduğu gözlenmiştir. Elde edilen polimerlerin halojen son grup taşıdığı, bu yöntemle yapılan polimerlerin klasik ATRP'de makro başlatıcı olarak kullanıldığı zincir uzatma polimerizasyonu ile kanıtlanmıştır. Bu sonuçlar göstermektedir ki; katalitik miktarda tiyofenol ya da türevi kullanıldığında kolay oksitlenebilen Cu(I) tuzları yerine Cu(II) tuzları kullanılabilir ve sınırlı miktarda hava varlığında ATRP gerçekleştirilebilir. Bunun yanında tiyofenol ya da türevi gibi inhibitörlerin monomerden uzaklaştırılmasına gerek yoktur. Çünkü inhibitör klasik ATRP'de reaksiyon ortamında üretilen Cu(II) tarafından tüketilmektedir. Tiyofenol türevleri Cu(I) tuzları yerine Cu(II) analoglarının kullanılmasına olanak sağlamaktır, polimerizasyon sisteminde ve sonuç üzerindeki metal miktarını azaltmaktadır.

## KAYNAKLAR

- [1] **Fischer, H.**, 1986. *J. Am. Chem. Soc.*, **108**, 3925.
- [2] a) **Minisci, F.**, 1975. *Acc. Chem. Res.*, **8**, 165.  
b) **Bellus, D.**, 1985. *Pure App. Chem.*, **57**, 1827.
- c) **Iqbal, J.; Bhatia, B.; Nayyar, N. K.**, 1994. *Chem. Rev.*, **94**, 519.
- [3] **Curran, D. P.**, 1988. *Synthesis*, 489.
- [4] a) **Wang, J. J.; Matyjaszewski, K.**, 1995. *Macromolecules*, **28**, 7901.  
b) **Percec, V.; Bardouiu, B.**, 1995. *Macromolecules*, **28**, 7970.
- [5] **Matyjaszewski, K.**, *Unpublished results*.
- [6] **T. E. Patten, J. Xia, T. Abernathy, and K. Matyjaszewski**, 1996. *Science*, **272**, 866.
- [7] **J. S. Wang and K. Matyjaszewski**, 1995. *Macromolecules*, **28**, 7901.
- [8] **Matyjaszewski, K.; Patten, T.E.; Xia, J. H.**, 1997. *J. Am. Chem. Soc.* **119**, 674.
- [9] **Matyjaszewski, K.**, 1995. *J. Phys. Org. Chem.* **8**, 197.
- [10] **K. Matyjaszewski and J. Xia**, 2001. Atom Transfer Radical Polymerization *Chem. Rev.*
- [11] **Tatemoto, M.; Oka, M.**, 1984. *Contemp. Topics Polym. Sci.* **4**, 763.
- [12] **Matyjaszewski, K.; Gaynor, S. G.; Wang, J. -S.**, 1995. *Macromolecules* **28**, 2093.
- [13] **Matyjaszewski, K.; Schipp, D.A.; Wang, J. -L.; Grimaud, T.; Patten, T.E.**, 1998. *Macromolecules* **31**, 6836.
- [14] **Shipp, D. A.; Wang, J.-L.; Matyjaszewski, K.**, 1998. *Macromolecules* **31**, 8005.
- [15] **Moineau, G.; Minet, M.; Teyssié, P.; Jerome, R.**, 2000. *Macromol. Chem. Phys.* **201**, 1108.
- [16] **Wang, J.-S.; Matyjaszewski, K.**, 1995. *Macromolecules* **28**, 7901.
- [17] **Matyjaszewski, K.**, 1998. *Macromol. Symp.* **134**, 105.
- [18] **Xia, J.; Zhang, X.; Matyjaszewski, K.**, 2000. *ACS Symp. Ser.* **760**, 207.
- [19] **Grimaud, T.; Matyjaszewski, K.**, 1997. *Macromolecules* **30**, 2216.
- [20] **Matyjaszewski, K.**, 1997. *J.M.S.-Pure Appl. Chem.*, **A34**(10), pp. 1785-1801

- [21] Matyjaszewski, K.; Davis, K.; Patten, T.; Wei, M., 1997. *Tetrahedron* **53**, 15321.
- [22] Matyjaszewski, K., 1998. *ACS Symp.* **685**, 258.
- [23] Qiu, J.; Matyjaszewski, K., 1997. *Macromolecules* **30**, 5643.
- [24] Clark, K. B.; Wayner, D. D. M., 1991. *J. Am. Chem. Soc.* **113**, 9363.
- [25] C. A. Barson, in *Comprehensive Polymer Science*, G. C. Eastmond, A. Ledwith, S. Russo and P. Sigwalt, eds., London, Pergamon, 1989. Vol. 3, p. 171.
- [26] M. S. Kharasch, A. T. Read, and F. R. Mayo 1938. *Chem. and Ind.*, **57**, 752; S. O. Jones and E. E. Reid, 1938. *J. Am. Chem. Soc.* **60**, 2452.
- [27] A. S. Hay, H. S. Blanchard, G. F. Endres and J. W. Eustance, 1959. *J. Am. Chem. Soc.* **81**, 6335.
- [28] A. S. Hay, 1962. *J. Polym. Sci.* **58**, 581.
- [29] D. M. White and H. J. Klopfer, 1972. *J. Polym. Sci. Part A-1* **10**, 1565.
- [30] E. Tsuchida, M. Kaneko, Y. Kurimura, 1970. *Macromol. Chem.* **132**, 209.
- [31] H. J. Kevelam, K. P. De Jong, H. C. Meinders, G. Challa, 1975. *Macromol. Chem.* **176**, 1369.
- [32] A. S. Hay, 1977. *US Pat.* 4 028 341  
(*Chem. Abstr.*, 1976, **84**, 5674).
- [33] A. S. Hay, 1967. *US Pat.* 3 306 875.  
(*Chem. Abstr.*, 1965, **62**, 708).
- [34] J. G. Bennet and G. D. Cooper, 1978. *US Pat.* 4 092 294  
(*Chem. Abstr.*, 1978, **89**, 25 103).
- [35] J. P. J. Verlaan, P. J. T. Alferink and G. Challa, 1984. *J. Mol. Catal.* **24**, 235.
- [36] H. Wieden and U. Bahr, 1969. *Br. Pat.* 1 134 613  
(*Chem. Abstr.*, 1969, **70**, 29 589)
- [37] E. Tsuchida, M. Kaneko and H. Nishide, 1972. *Macromol. Chem.* **151**, 221.
- [38] E. Tsuchida, H. Nishikawa and E. Terada, 1976. *J. Polym. Sci., Polym. Chem. Ed.*, **14**, 825.
- [39] E. Tsuchida, 1982. 'New Frontiers in Organometallic and Inorganic Chemistry, 2nd Meeting', Science Press, Beijing, p. 207 (Chem. Abstr., 1985, **102**, 185 554z)
- [40] E. Tsuchida, H. Nishide and T. Nishiyama, 1974. *Macromol. Chem.*, **175**, 3047.
- [41] C. E. Konin, B. L. Hiemstra, G. Challa, M. van de Velde and E. J Goethals, 1985. *J. Mol. Catal.*, **32**, 309.

- [42] **H. L. Finkbeiner, A. S. Hay and D. M. White**, in '*Polymer Processes, High Polymer*', ed. C. E. Schildknecht and I. S. Skeist, Wiley, New York, 1977, vol.29, p. 537.
- [43] **G. F. Endres, A. S. Hay, J. W. Eustance**, 1963. *J. Org. Chem.*, **28**, 1300;  
**E. Ochiai**, 1964. *Tetrahedron*, **20**, 1831;  
**M. Kaneko, H. Nishide and E. Tsuchida**, 1971. *Kogyo Kagaku Zasshi*, **74**, 1194;  
**E. Tsuchida, H. Nishide and T. Nishiyama**, 1974. *Macromol. Chem.*, **175**, 3047;  
**A. J. Schouten, N. Prak and G. Challa**, 1977. *Macromol. Chem.*, **178**, 401;  
**D. P. Mobley**, 1984. *J. Polym. Sci., Polym. Chem. Ed.*, **22**, 3203;  
**C. C. Price and K. Nakaoka**, 1971. *Macromolecules*, **4**, 363.
- [44] **Hay, A. S.**, 1962. *J. Polym. Sci.*, **58**, 581-591.
- [45] **Hay, A. S.**, 1998. *J. Polym. Sci.*, Part A : Polym. Chem., **36**, 505-517.
- [46] **Haddleton, D. M., Jasieczek, C. B., Hannon, M. J., Shooter, A. J.**, 1997. *Macromolecules*, **30**, 2190.

## **ÖZGEÇMİŞ**

1979 yılında Çorum'da doğdu. 2001 yılında Marmara Üniversitesi Atatürk Eğitim Fakültesi Kimya Öğretmenliği Bölümü'nden birincilikle mezun oldu ve İstanbul Teknik Üniversitesi Organik Kimya Bölümü Kimyagerlik Programı'na yüksek lisans öğrencisi olarak kabul edildi. 2001 yılında Yüksek Lisans çalışmalarına başladı.

